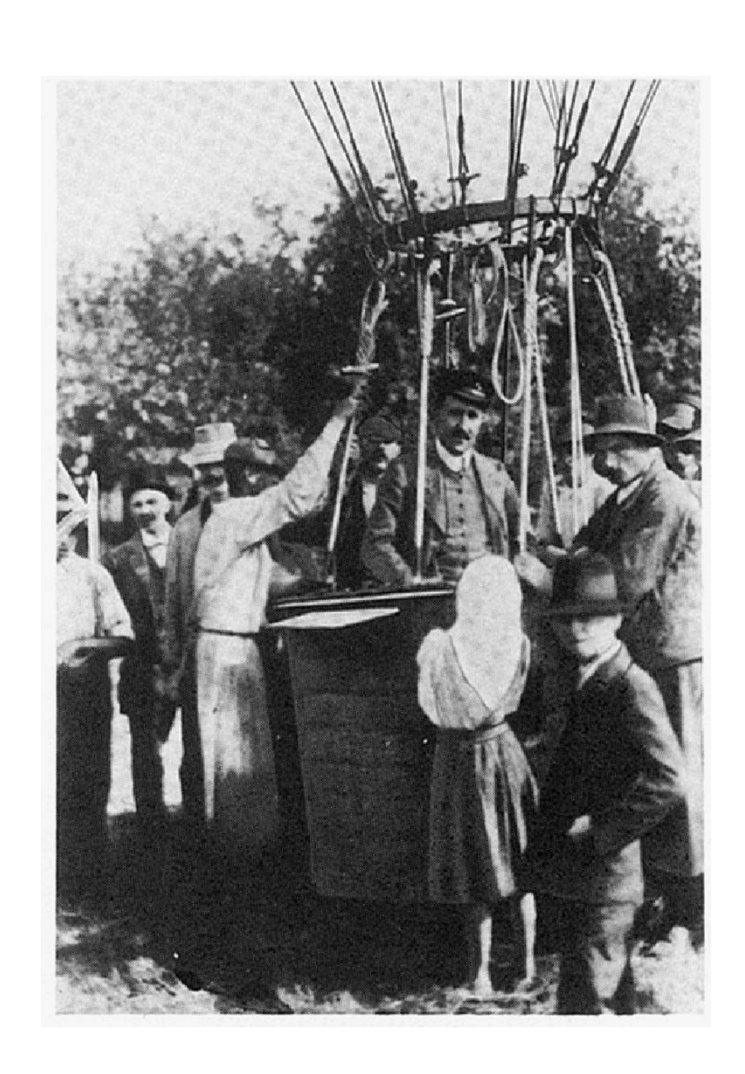


I raggi cosmici Parte 1

Corso di Introduzione all'astrofisica Anno accademico 2019-2020 Barbara Caccianiga

Cosa sono i raggi cosmici?

- La terra e' costantemente bombardata da particelle ionizzanti chiamate "raggi cosmici";
- I raggi cosmici sono stati scoperti nel 1912 da V. Hess;
 - Esperimento su pallone per misurare la radioattivita' in funzione dell'altezza dal suolo;
 - Man mano che si saliva la radioattivita' prima diminuisce e poi ricomincia ad aumentare!
- I raggi cosmici che colpiscono l'atmosfera terrestre sono costituiti per il 98% di p, α e altri nuclei piu' pesanti;
- Il 2% circa e' costituito da e-, e+;
- Solo una piccola parte (0.1%) sono γ;
- Al di sopra di un'energia di ~ TeV hanno una distribuzione isotropa, poiche' non vengono deflessi dal campo magnetico del sistema solare



Energie dei raggi cosmici

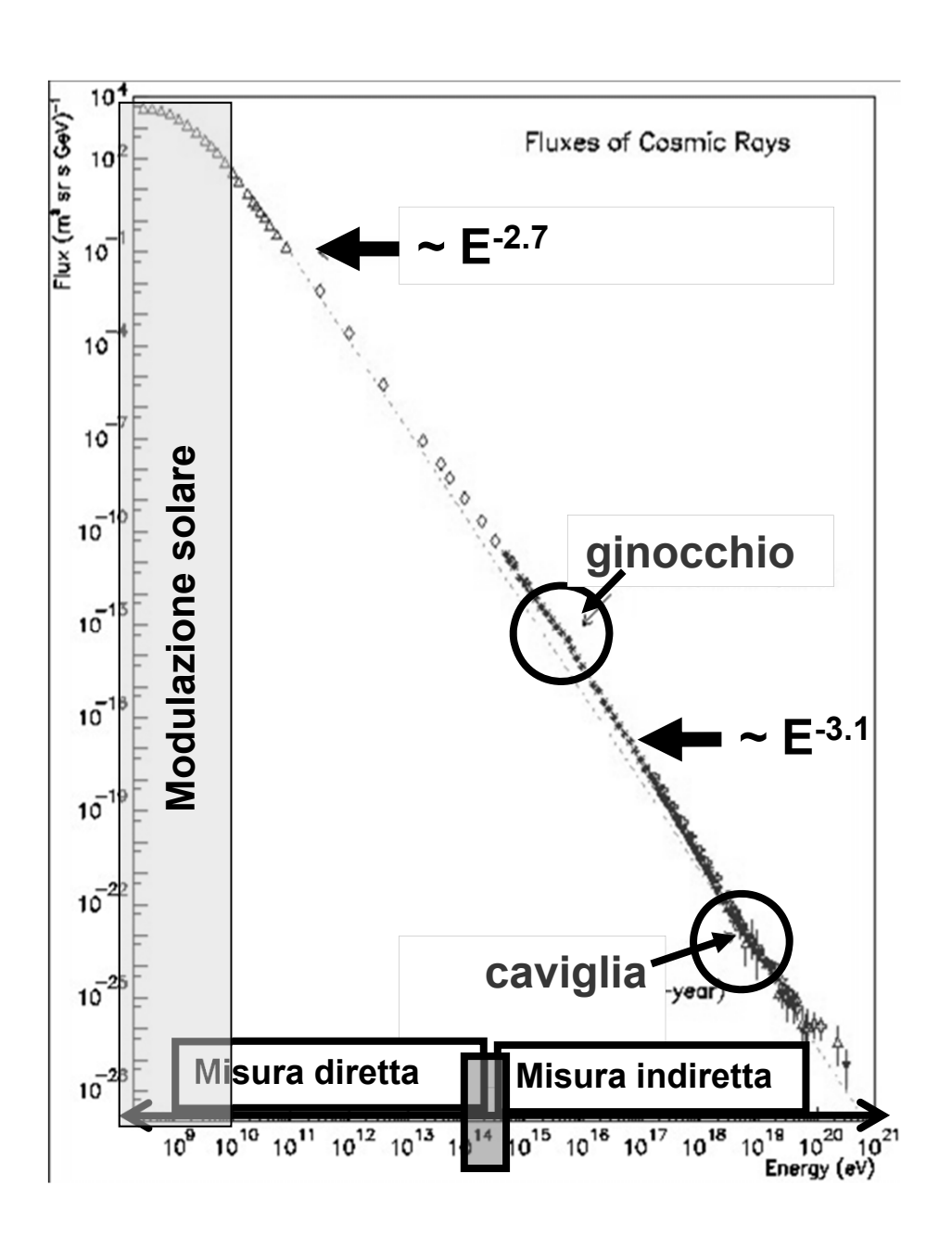
- La distribuzione in energia dei raggi cosmici si estende da energie inferiori a 10⁹ eV a energie superiori a 10²⁰ eV;
- Possiamo classificare i raggi cosmici in base alla loro energia:
 - High Energy Cosmic Rays (HECR): E ~ 10⁹ eV (GeV);
 - Very High Energy Cosmic Rays (VHECR): E ~ 10¹² eV (TeV);
 - Ultra High Energy Cosmic Rays (UHECR): E ~ 10¹⁵ eV (PeV);
 - Extreme High Energy Cosmic Rays (EHECR): E > 10¹⁸ eV (>EeV);
- Per E < 10¹⁴ eV il flusso di raggi cosmici primari e' sufficientemente grande da poter venire misurato direttamente con palloni o satelliti al di fuori (o quasi) dell'atmosfera;
- Per E >10¹⁴ eV il flusso si riduce cosi' tanto da rendere impossibile la misura diretta in quanto i rivelatori che si possono montare sui satelliti sono troppo piccoli per raccogliere una statistica adeguata;
- E' necessaria la misura indiretta, cioe' dei prodotti secondari dell'interazione dei raggi cosmici con l'atmosfera; queste misure vengono effettuate a terra con rivelatori di grandi dimensioni;

Flusso di raggi cosmici

- Per E< 10¹⁰ eV il flusso e' affetto dalla "modulazione solare", ovvero varia al variare dell'attivita' solare;
- Per E> 10¹⁰ eV il flusso dei raggi cosmici in funzione dell'energia puo' essere descritto da una legge del tipo

$$\frac{dN}{dE} \propto E^{-\alpha}$$
 Con α
$$\begin{cases} 2.7 & \text{E} < 10^{15} \text{ eV} \\ 3.1 & 10^{15} < \text{E} < 3 \times 10^{18} \text{ eV} \end{cases}$$

• Per energie E>3x10¹⁸ eV α sembra diminuire leggermente (cioe' la pendenza della curva e' meno ripida)

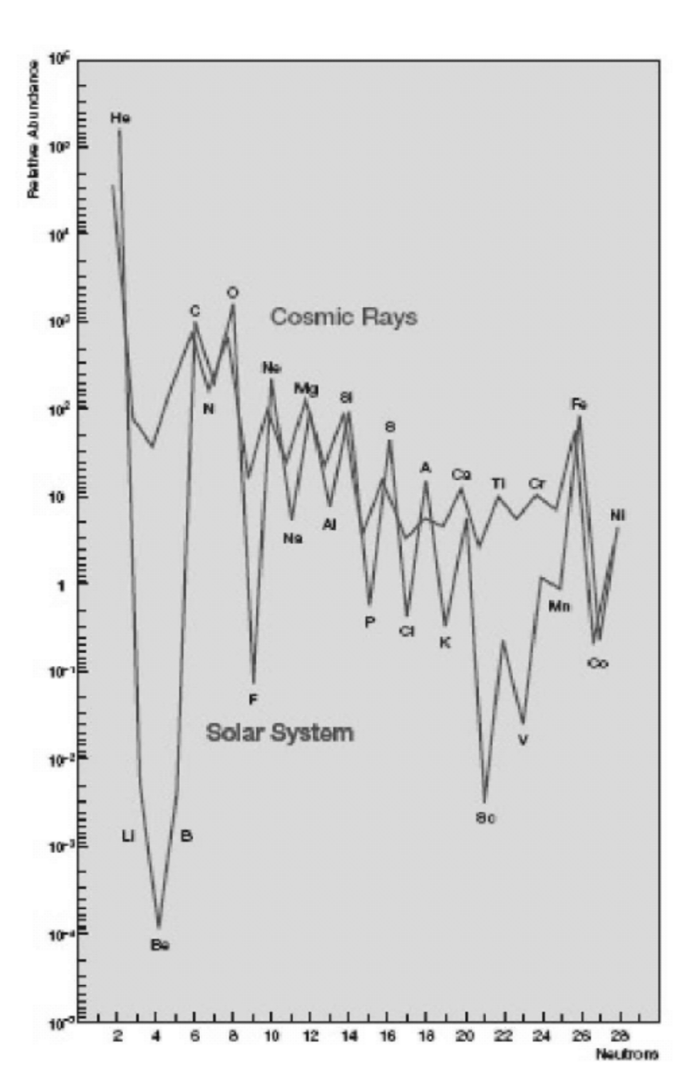


Flusso di raggi cosmici

- Per E<10¹⁵ eV (ginocchio) la maggior parte dei raggi cosmici e' di origine galattica;
- Il cambio di pendenze a livello del ginocchio corrisponde all'energia per cui i raggi cosmici (protoni) non sono piu' confinati nella galassia e quindi il loro flusso scende;
- Per E>3x 10¹⁸ eV (caviglia) diventa dominante il contributo dei raggi cosmici extra-galattici;
- Per E>3x10¹⁹ eV sembra esserci una forte soppressione del flusso (cutoff GZK?)

I raggi cosmici di "bassa energia" E(10¹²-10¹⁴) eV

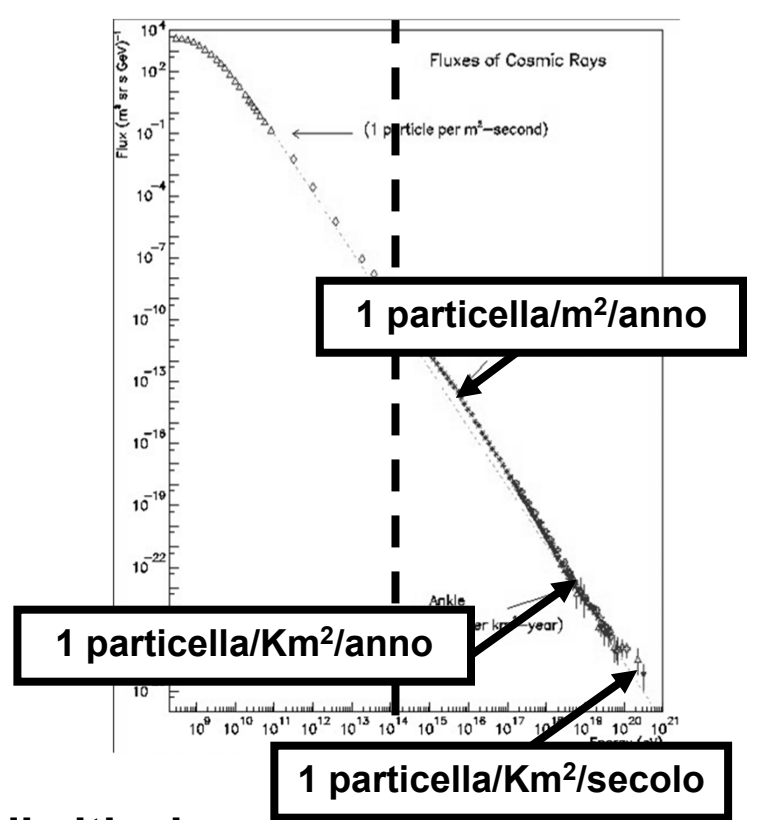
- Il flusso dei raggi cosmici primari di E<10¹⁴ eV che raggiungono l'atmosfera terrestre e' relativamente alto:
- Φ ~ 1 particella /m²/sec;
- Questo permette lo studio diretto tramite rivelatori posizionati su palloni o su satelliti;
- Esperimenti come JACEE, Egg e HESS hanno determinato la composizione di questa parte di raggi cosmici;
- 50% protoni, 24% He, 13% CNO, 13% Fe, <10⁻² e⁻, < 10⁻³ γ ;
- Confrontando la composizione con quella tipica osservata nel sistema solare, si vede un eccesso di Li, Be e B dovuto probabilmente a spallazione di C e O su idrogeno e He interstellare (frantumazione in nuclei piu' leggeri);



• Il fatto che il flusso di questa porzione di raggi cosmici sia indipendente dall'attivita' solare o da eclissi suggerisce che abbiano origine extra-solare;

I raggi cosmici di "altissima energia" E >10¹⁴ eV

- In questa regione di energia il flusso di raggi cosmici e' basso;
- Non e' piu' possibile rivelarli direttamente da satellite o pallone;
- Si utilizzano metodi indiretti;
- In pratica i raggi cosmici primari interagiscono con l'atmosfera terrestre e producono degli sciami (EAS, Extensive-Air-Shower);
- Le particelle di questi sciami sono rivelate a terra;



 Notiamo che la traiettoria dei raggi cosmici di altissima energia e' deviata solo debolmente dai campi magnetici galattici (~μG) o extra-galattici (~nG):

$$\theta = 3^{0} Z \left(\frac{L}{1 kpc}\right) x \left(\frac{B}{1 \mu G}\right) x \left(\frac{10^{19} \text{ eV}}{E}\right)$$

Dove L e' la distanza della sorgente

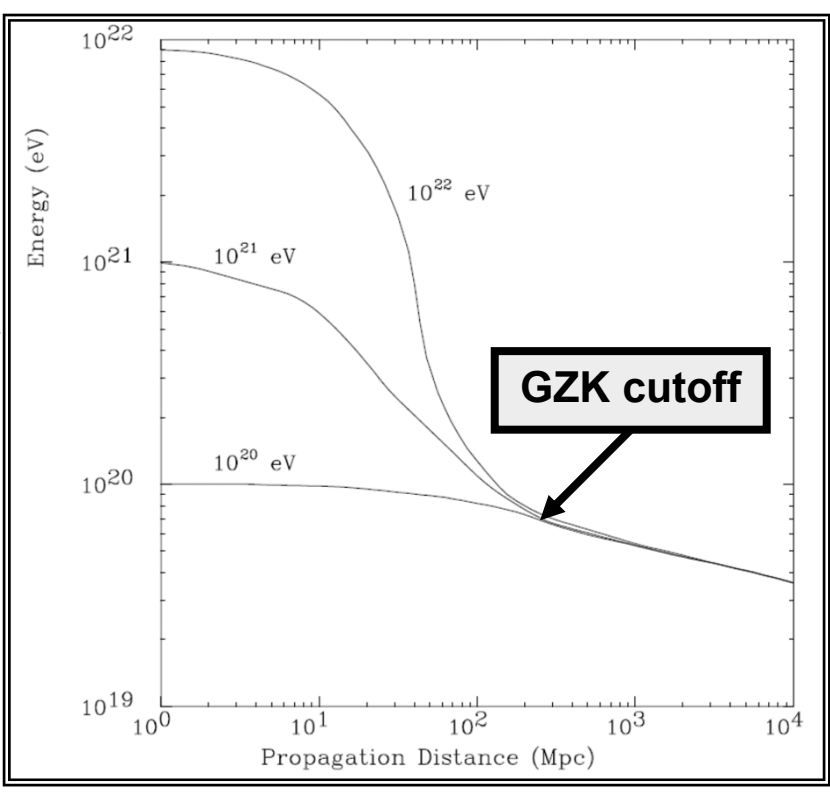
• Possono quindi darci importanti informazioni sugli "acceleratori cosmici" che li hanno prodotti (o accelerati);

II cutoff GZK (Greisen, Zatsepin e Kuzmin)

- Le particelle di origine extra-galattica devono attraversare il mezzo interstellare della loro galassia e della nostra + il mezzo intergalattico prima di arrivare a noi;
- Il mezzo interstellare e' composto da gas neutro e ionizzato (H) e dalla radiazione cosmica di fondo (CMB);
- Subiscono quindi interazioni che causano perdita della loro energia;
- •Guardiamo il grafico che indica la previsione teorica sull'energia dei protoni in funzione della distanza percorsa;
- Notiamo che indipendentemente da quanto grande era la loro energia all'origine, dopo ~ 100Mpc, sono andati sotto E ~ 10²⁰ eV;
- Cio' dipende dal fatto che per E > 6x10¹⁹eV si innesca la reazione

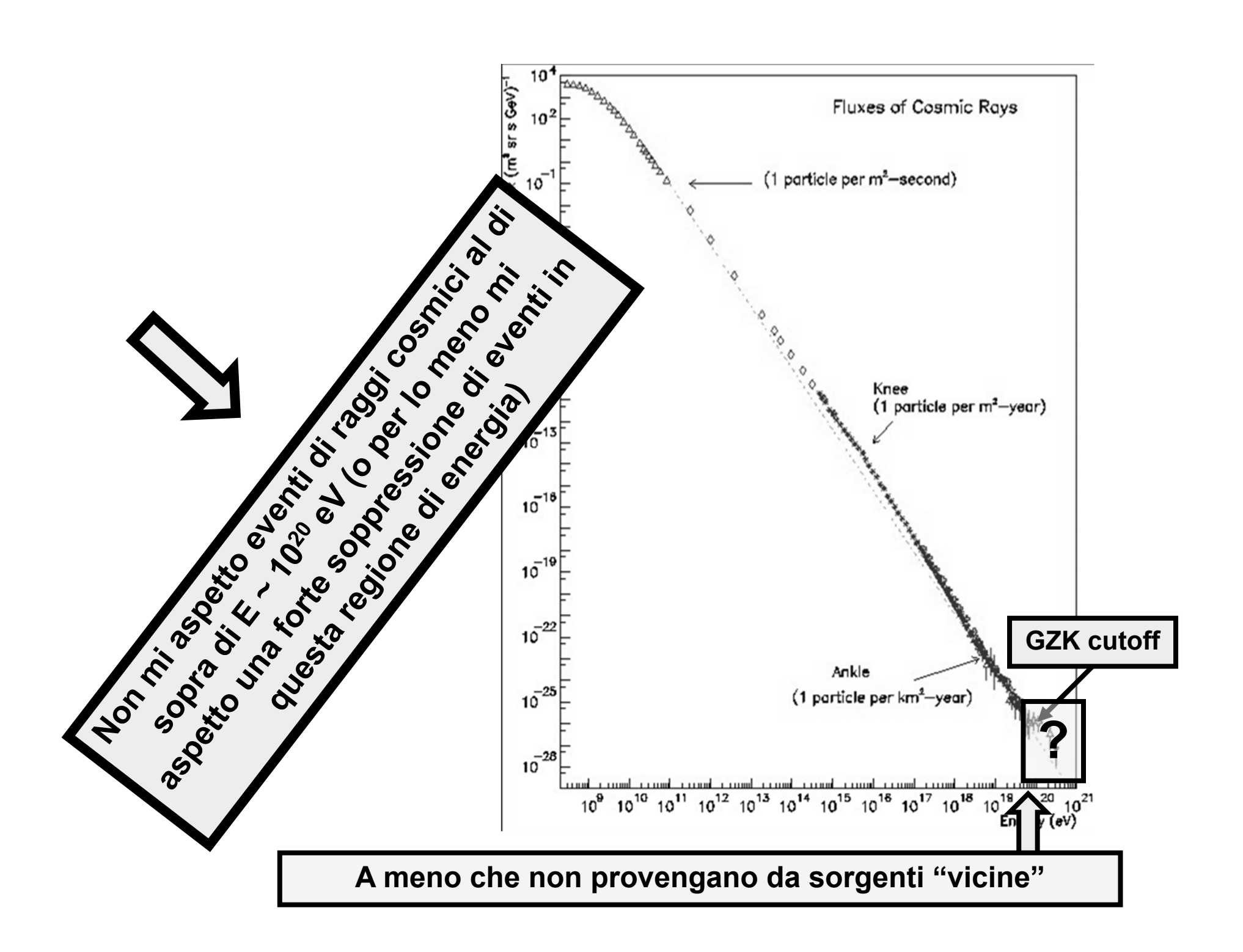
$$p + \gamma_{CMB} \rightarrow \Delta^{+} \rightarrow N + \pi$$

sui fotoni del fondo a micro-onde che ha un'alta sezione d'urto ($\sigma \sim 10^{-28} \text{ cm}^2$) e comporta una grossa perdita (20%) dell'energia del protone;

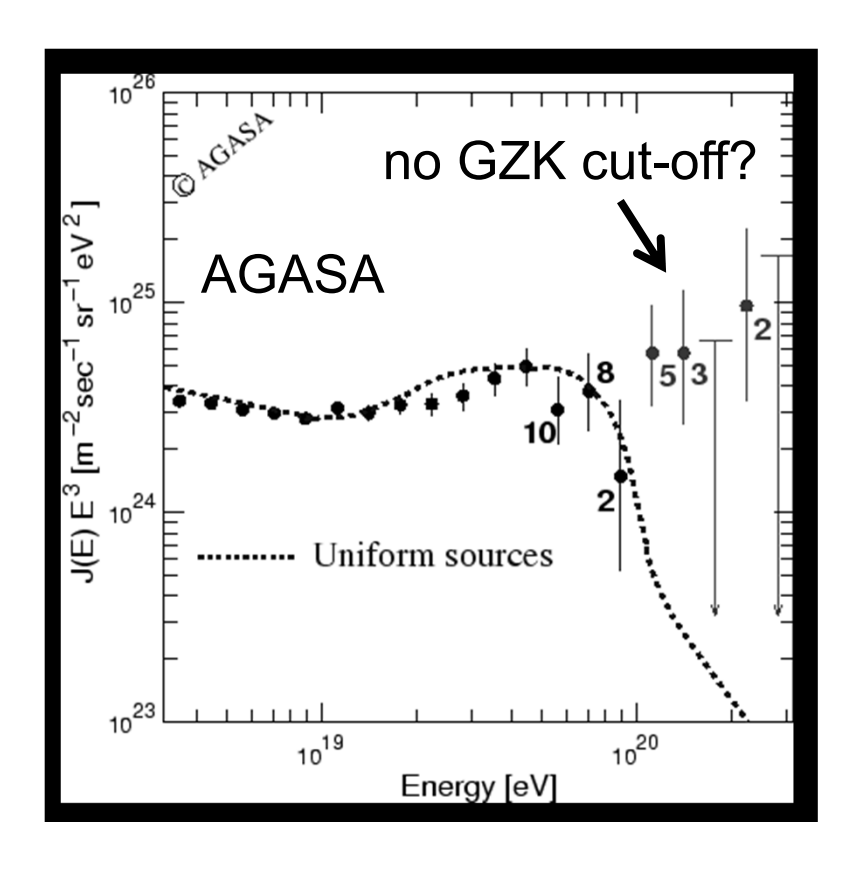


Il cutoff GZK (Greisen, Zatsepin e Kuzmin)

- •L'effetto GZK propriamente detto si ha se i raggi cosmici di altissima energia sono protoni;
- •Nel caso fossero tutti o in parte elementi piu' pesanti (per esempio nuclei di Fe) le reazioni tipo GZK avverrebbero a energie piu' elevate (poiche' un nucleo di energia E con numero atomico A si comporta come A nucleoni di energia E/A).
- Nel caso particolare del Fe, mi aspetto comunque una soppressione attorno a 5x10¹⁹ eV, ma dovuta a un meccanismo diverso: a queste energie i nuclei di Fe hanno alta probabilita' di frammentazione in nuclei piu' leggeri;
- •E' possibile invece che la soppressione osservata non sia dovuta a meccanismi di propagazione dei raggi cosmici, ma alla produzione stessa: potrebbe essere la massima energia a cui i raggi cosmici possono venir prodotti;



Problema: l'esperimento AGASA vede eventi al di sopra del GZK cutoff



- Perche' il fatto che AGASA non veda un cutoff GZK e' un problema?
- Perche' non riusciamo a ricondurre questi eventi a nessuna sorgente vicina!
- Allora c'e' qualche cosa che non capiamo:
 - Non capiamo l'interazione dei raggi cosmici con il fondo a microonde?
 - Non siamo in grado di misurare da terra l'energia dei raggi cosmici di altissima energia correttamente?
 - C'e' semplicemente un errore sperimentale in AGASA?

In realta' gli altri esperimenti sui raggi cosmici (HiRes e Auger) NON sono compatibili con I risultati di AGASA e confermano la presenza di GZK cutoff

Questioni aperte a proposito dei raggi cosmici a 100 anni dalla loro scoperta

Quali e dove sono le sorgenti dei raggi cosmici di E>10¹⁹ eV?

Come vengono accelerati a E>10¹⁹ eV?

La provenienza dei raggi cosmici di energia ultra-elevata e' isotropa o va attribuita a poche sorgenti localizzate?

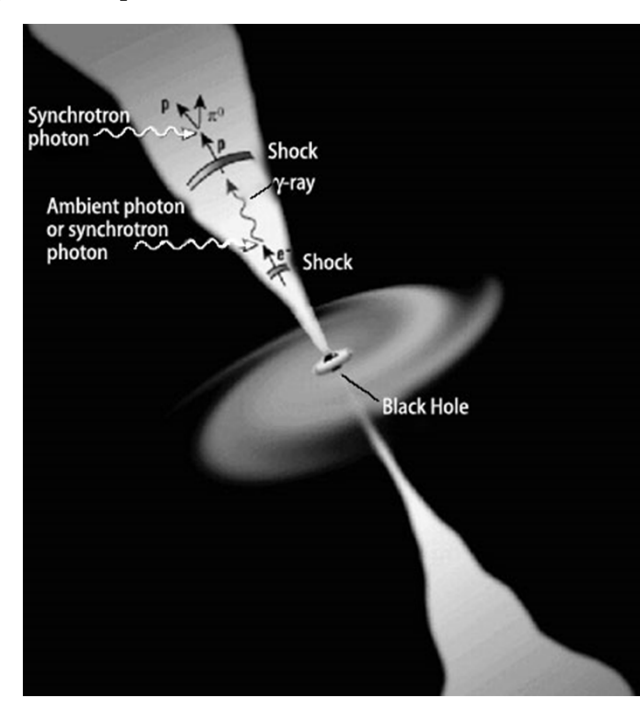
Esistono davvero degli
"acceleratori cosmici" oppure
bisogna chiamare in causa della
nuova fisica?

Che particelle sono I raggi cosmici di energia E>10¹⁹ eV? Protoni? Nuclei piu' pesanti? O un misto dei due?

- •Numerose teorie sono state proposte per spiegare l'origine dei raggi cosmici di E> 10¹⁹ eV;
- Possiamo dividerle in due grandi categorie:
 - Modelli "Bottom-Up": acceleratori cosmici;
 - Modelli "Top-Down": sorgenti esotiche;

Modelli "Bottom-Up": acceleratori cosmici

- L'idea alla base di questi modelli e' l'esistenza di oggetti cosmologici attivi in grado di creare e poi accelerare raggi cosmici attraverso processi elettromagnetici innalzandone l'energia;
- Nel 1949 Fermi suggerisce la possibilita' che le particelle possano venire accelerate interagendo con nubi di gas interstellari in movimento (magnetic clouds) ("On the Origin of Cosmic Radiation," Phys. Rev. 75 (1949) 1169);
- La distribuzione finale della velocita' della particella dipende dai modelli, ma in molti casi e' proprio descritta da una legge di potenza ~ E-a;
- In realta' questo processo e' poco efficiente: risulta piu' attendibile pensare che il fenomeno di accelerazione dei raggi cosmici avvenga in prossimita' dell'onda d'urto di un evento "esplosivo" come per esempio una Supernova;
- I candidati piu' promettenti di acceleratori cosmici sono le SuperNove (fino a un'accelerazione di ~ 10¹⁶ eV), Nuclei Galattici Attivi, Gamma Ray Burst;



Modelli "Top-Down": sorgenti esotiche

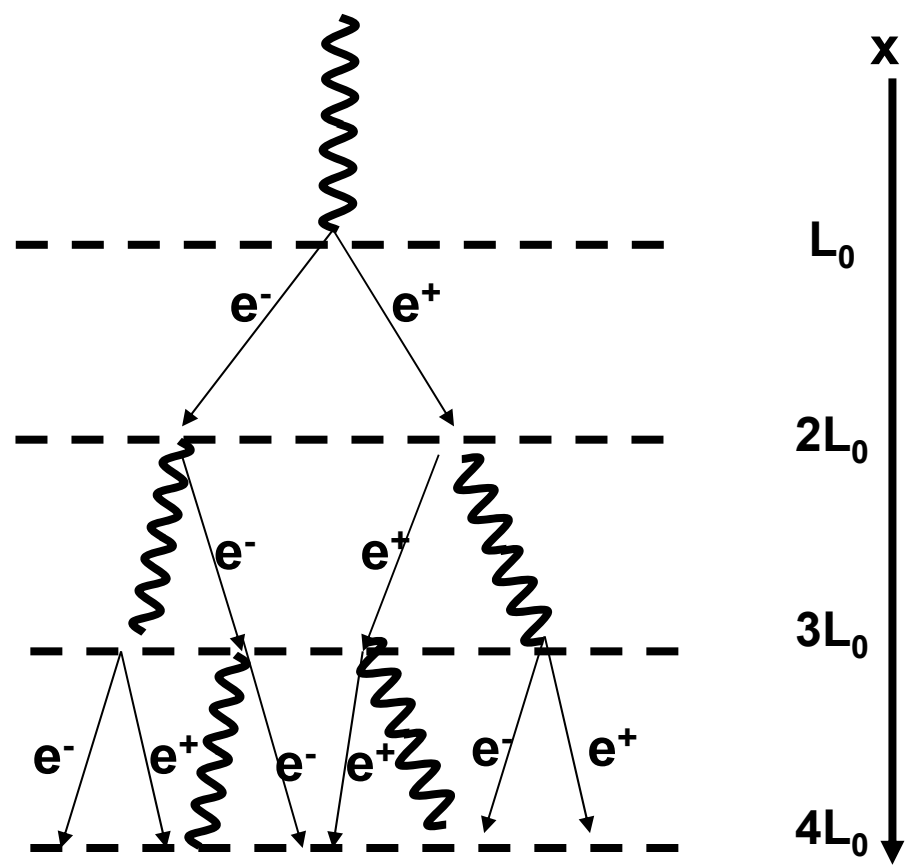
- Si basano sull'ipotesi che nuova fisica sia coinvolta nella produzione dei raggi cosmici di UHE;
- In particolare si ipotizza che i raggi cosmici possano venir prodotti dal decadimento di particelle supermassive non standard come per esempio:
 - Particelle SuperSimmetriche;
 - Difetti topologici (monopoli magnetici, stringhe cosmiche e stringhe superconduttrici): resti delle prime fasi evolutive dell'universo; in questo caso verrebbero soprattutto prodotti γ di E>10²⁰ eV;
- Un'altra ipotesi nei modelli top-down prevede che i raggi cosmici di UHE siano prodotti dall'annichilazione di neutrini cosmici con il fondo cosmico di neutrini a 1.9 ⁰K presente nell'alone galattico esteso (~ 50Mpc);
- questo processo viene detto Z-burst, perche' passa attraverso la produzione di Z⁰ che poi decadono in p, γ , π^0 , π^+ , π^- , e⁺, e⁻

La rivelazione indiretta di raggi cosmici: Extended Air shower (EAS)

 I raggi cosmici primari interagiscono con l'atmosfera terrestre producendo un cosiddetto "sciame" di particelle;

- Consideriamo per semplicita' uno sciame "elettromagnetico", cioe' iniziato da un γ che si propaga lungo x;
- Dopo una lunghezza di interazione L₀,
 il γ interagisce producendo e⁺ e⁻;
- A loro volta dopo ~ una lunghezza di interazione e⁺ e⁻ emettono un γ per Bremmstralung ...e cosi' via..
- Il numero di particelle presenti a ogni stadio e'

$$N(x) = 2^{x/L_0}$$



• Lo sciame si esaurisce quando gli elettroni raggiungono l'energia critica ${\sf E}_{\sf c}$ a cui la sezione d'urto per produzione di coppie diventa minore di quella di ionizzazione;

....Extended Air Shower (EAS) (2)

• Al massimo del suo sviluppo, cioe' quando (in un modello MOLTO semplificato) tutte le particelle hanno raggiunto l'energia critica E_c , il numero totale di particelle e':

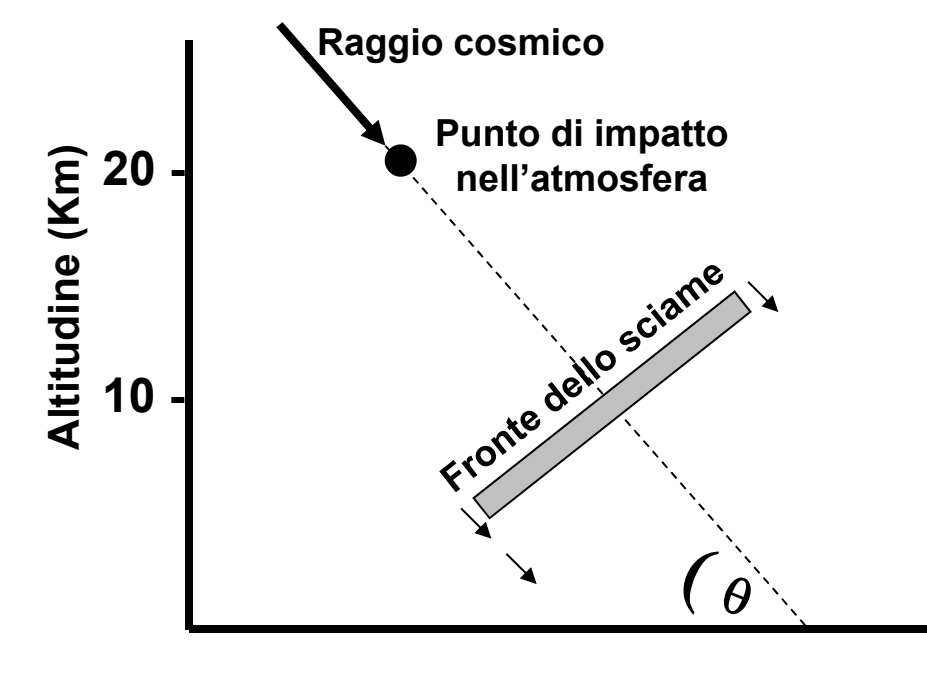
$$N_{max} = \frac{E}{E_c}$$

e la posizione del massimo e'

$$x_{max} = \frac{L_0}{\ln 2} \ln \frac{E}{E_c}$$

dove E e' l'energia del raggio cosmico incidente

- E' possibile quindi ricavare diverse informazioni sul raggio cosmico primario studiando lo sciame da esso generato:
 - 1. Energia ($\sim N_{max}$);
 - 2. Direzione (studiando i tempi di arrivo delle particelle del fronte dello sciame)



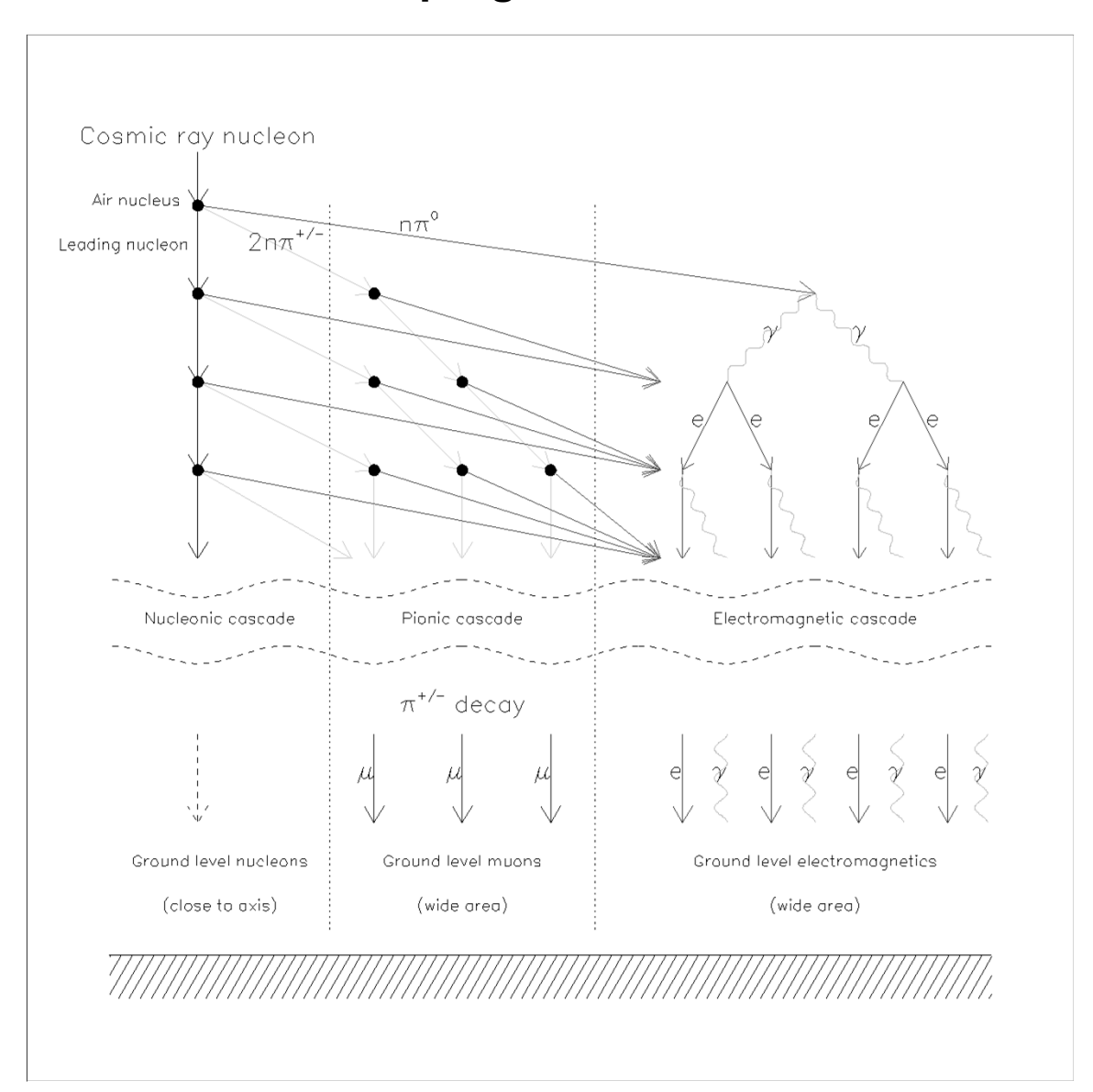
..Extended Air Shower (3)

• In realta' quando si tratta di sciami iniziati da protoni o nuclei piu' pesanti le cose si complicano ed e' necessario utilizzare programmi di simulazione

Montecarlo per descriverli;

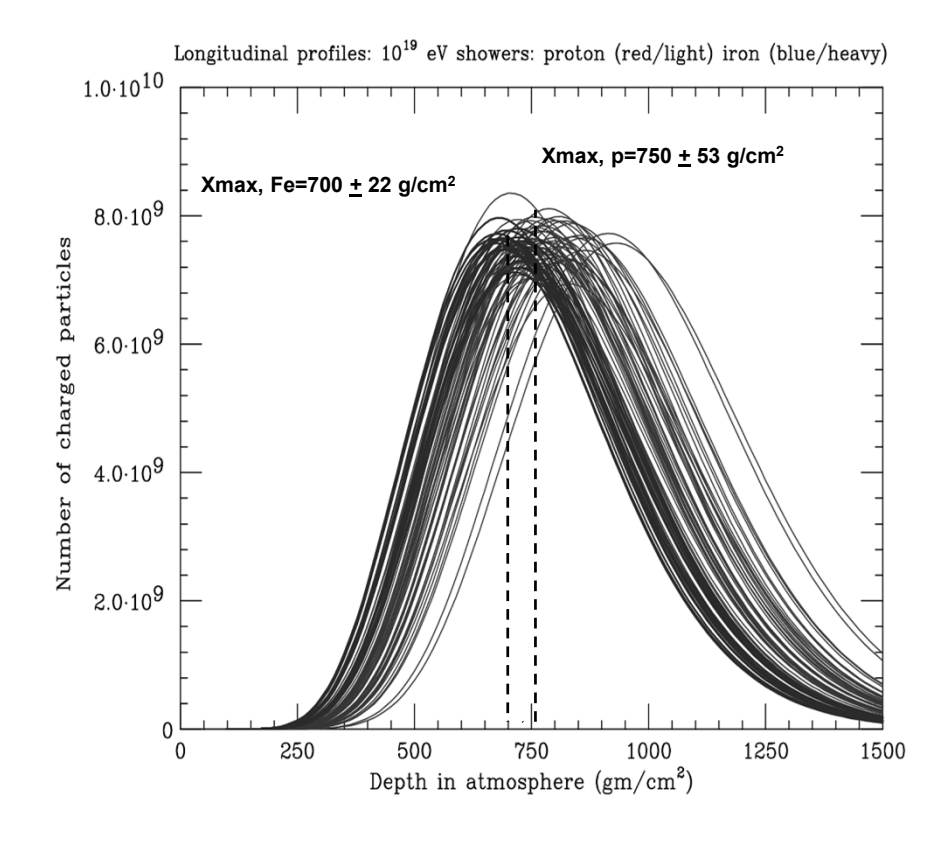
A grandi linee:

- Il raggio cosmico primario produce adroni, K e π ;
- Gli adroni secondari si concentrano attorno all'asse;
- K e π carichi danno origine a μ e ν (la componente piu' penetrante dello sciame);
- K e π neutri danno origine a γ , che cominciano sciami elettromagnetici;
- Il numero di particelle cresce fino a che si raggiunge l'energia critica al di sotto della quale non si producono piu' particelle



...Extended Air Shower (4)

- Le dipendenze essenziali che avevamo visto per lo sciame elettromagnetico, valgono comunque ancora:
- Vale ancora che N_{max} ~ E;
- Vale ancora che x_{max} ~ InE;
- Vale inoltre che la profondita' massima dello sciame dipende anche dal tipo di particella che lo ha originato;



- Inoltre e' possibile determinare la natura della particella primaria che ha originato lo sciame, studiando la distribuzione laterale delle particelle: il numero di muoni prodotti aumenta all'aumentare del numero atomico del primario;
- Quindi il rapporto N_{μ}/N_{e} e' un buon estimatore della natura del "padre" di uno sciame

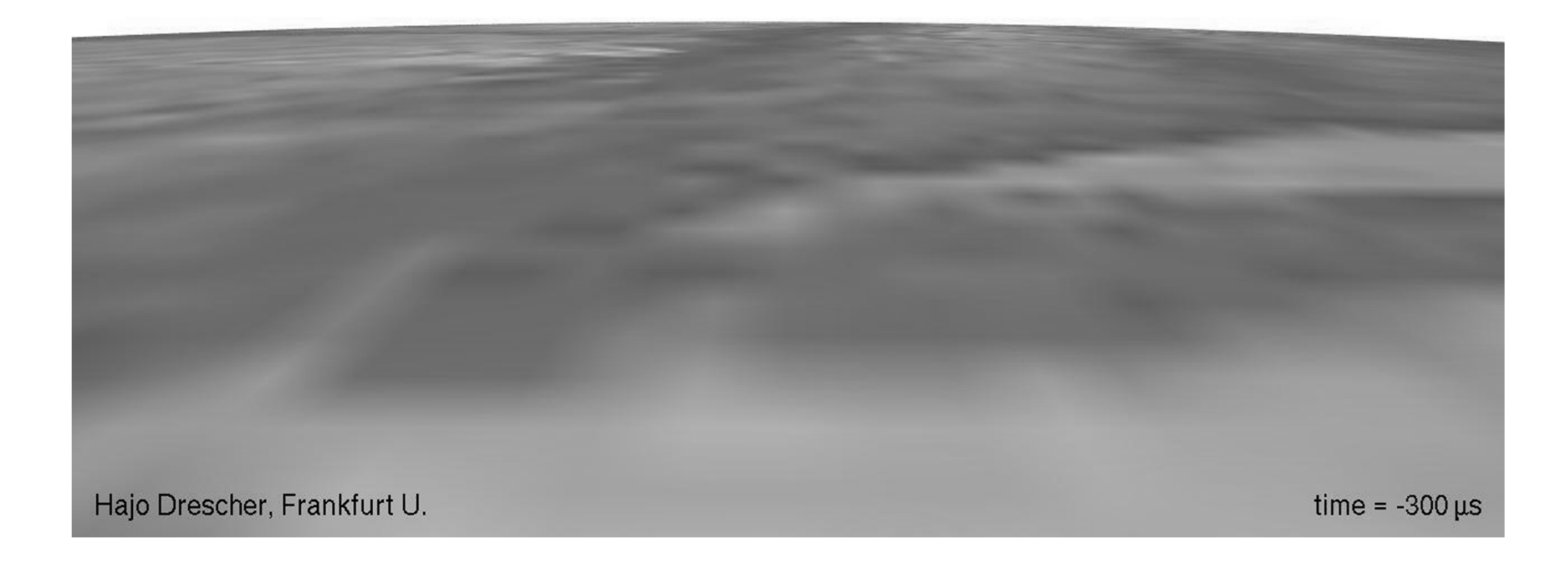


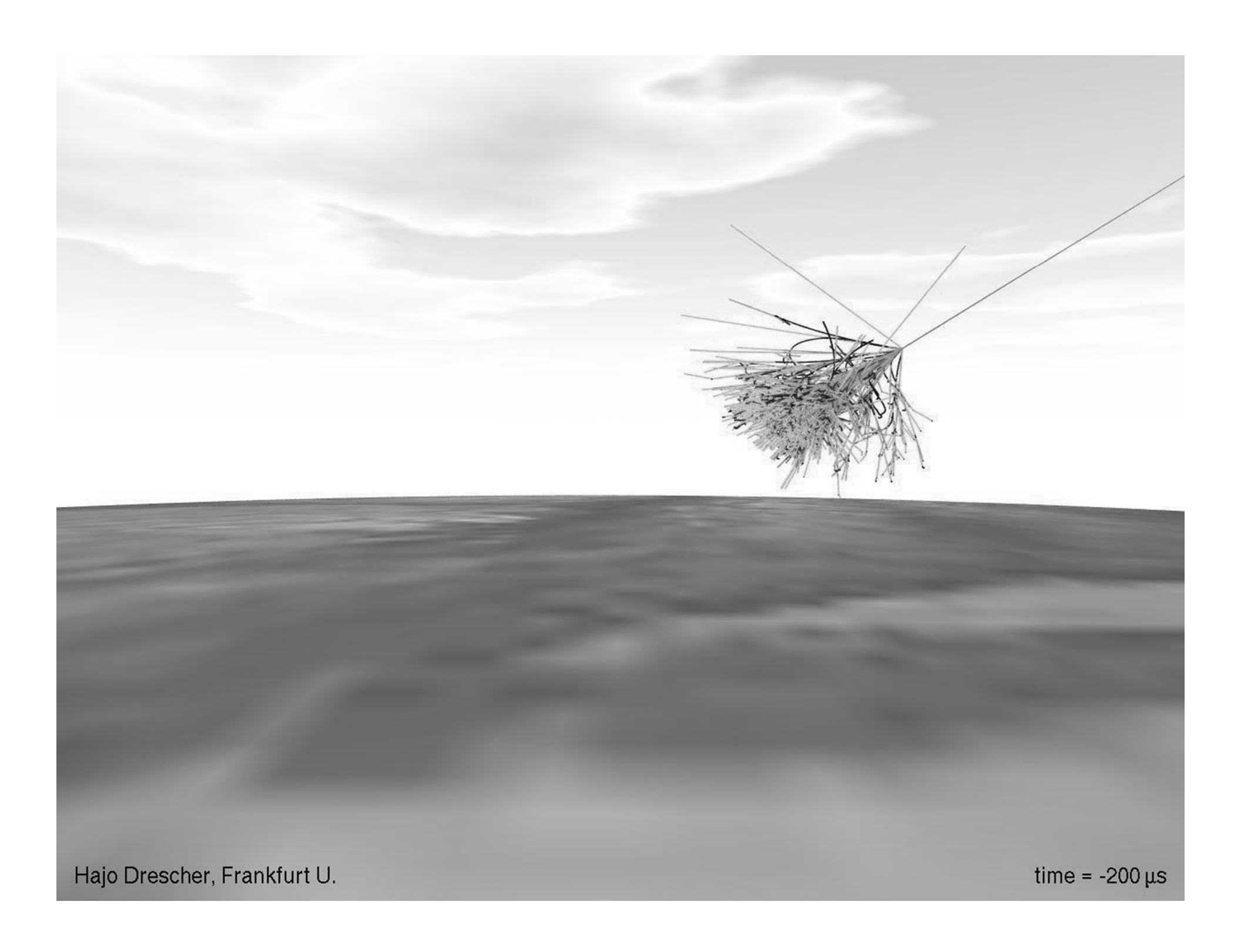


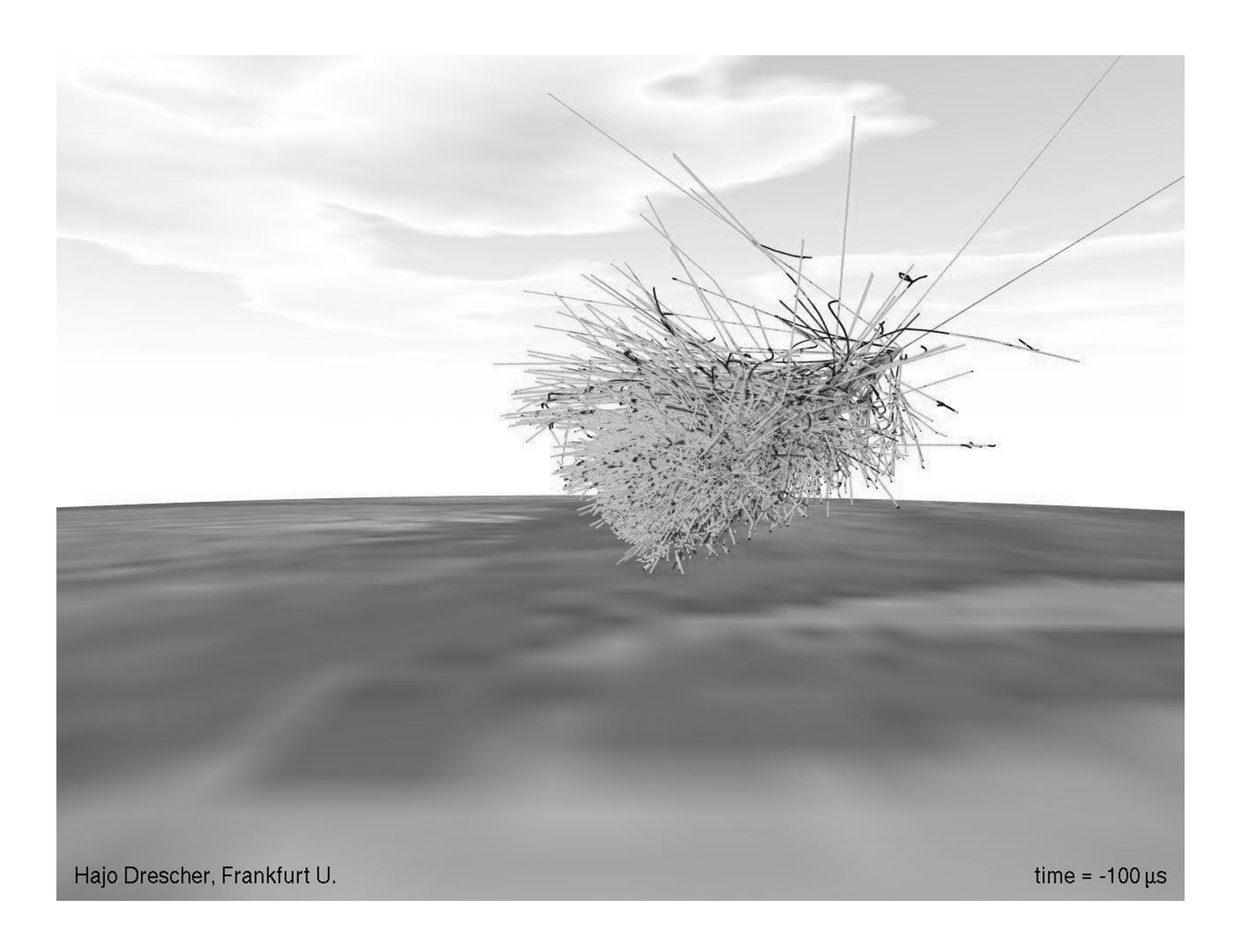


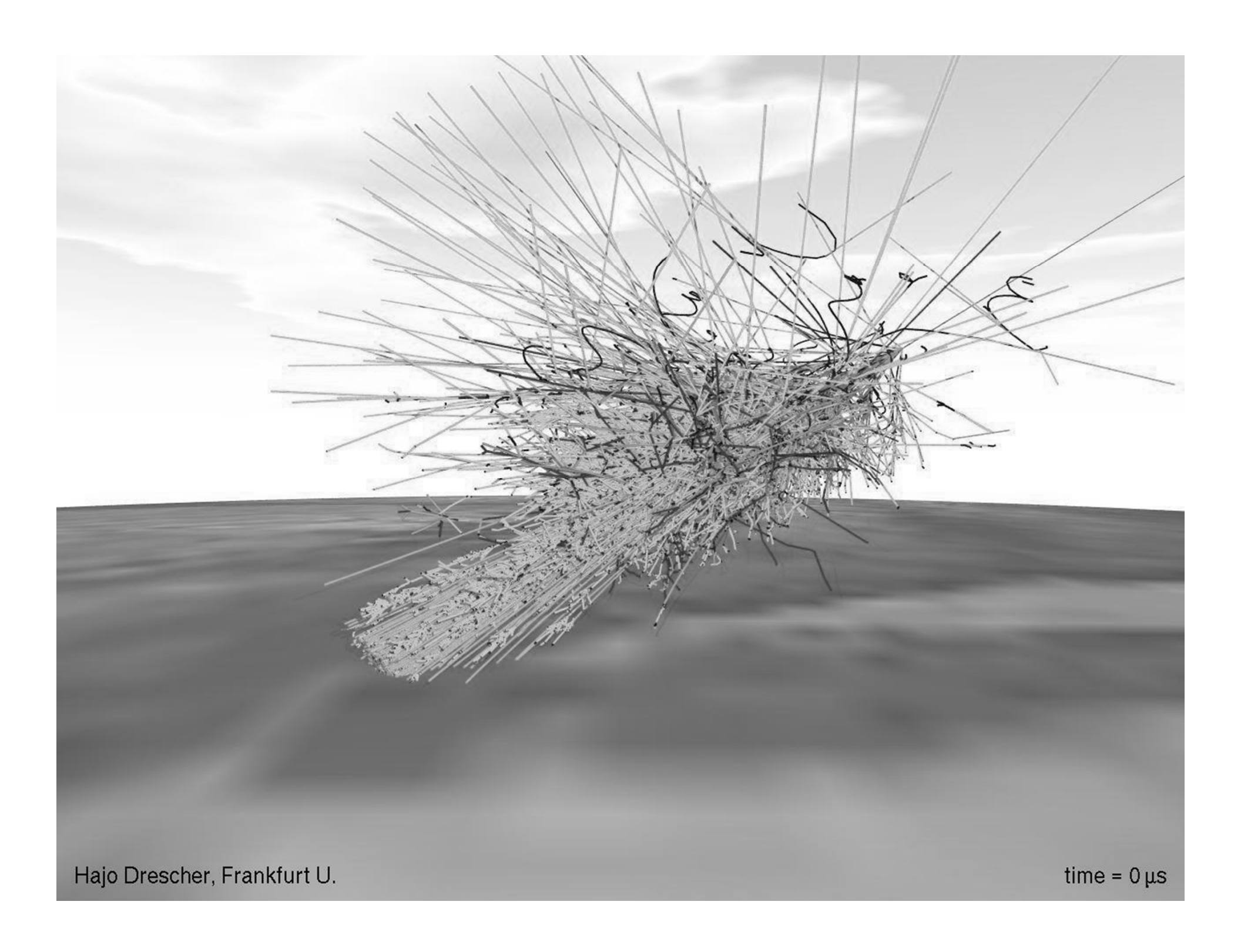


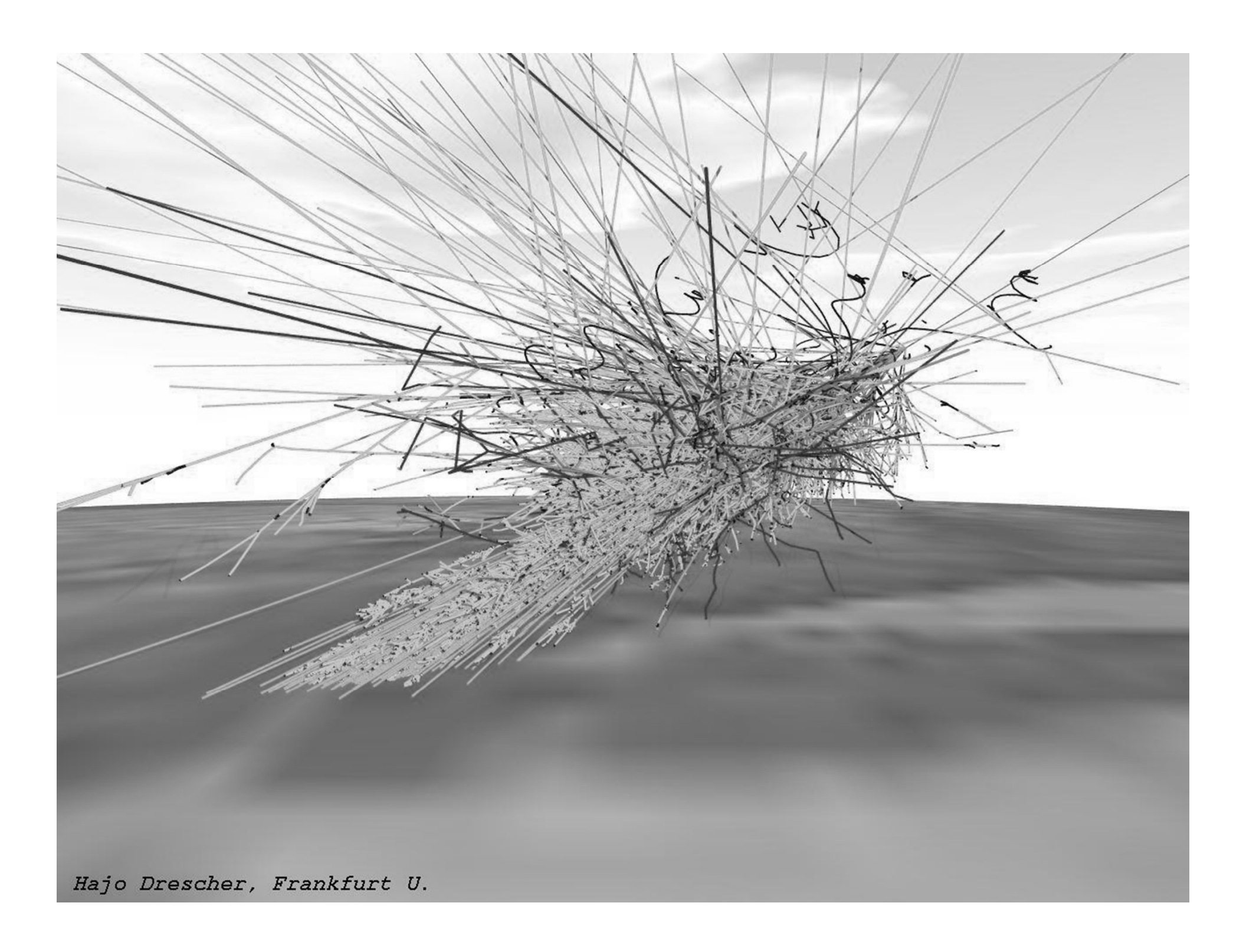


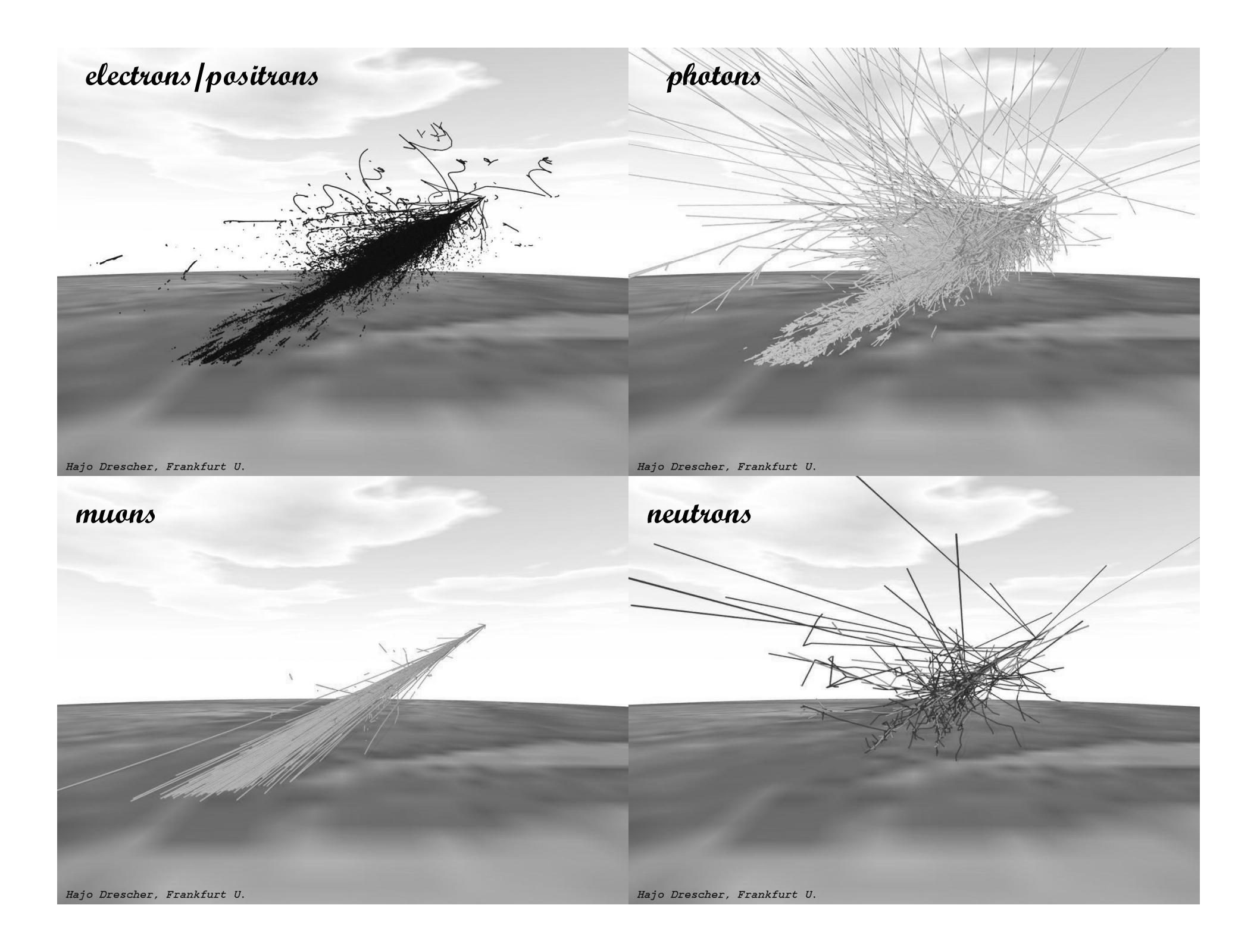












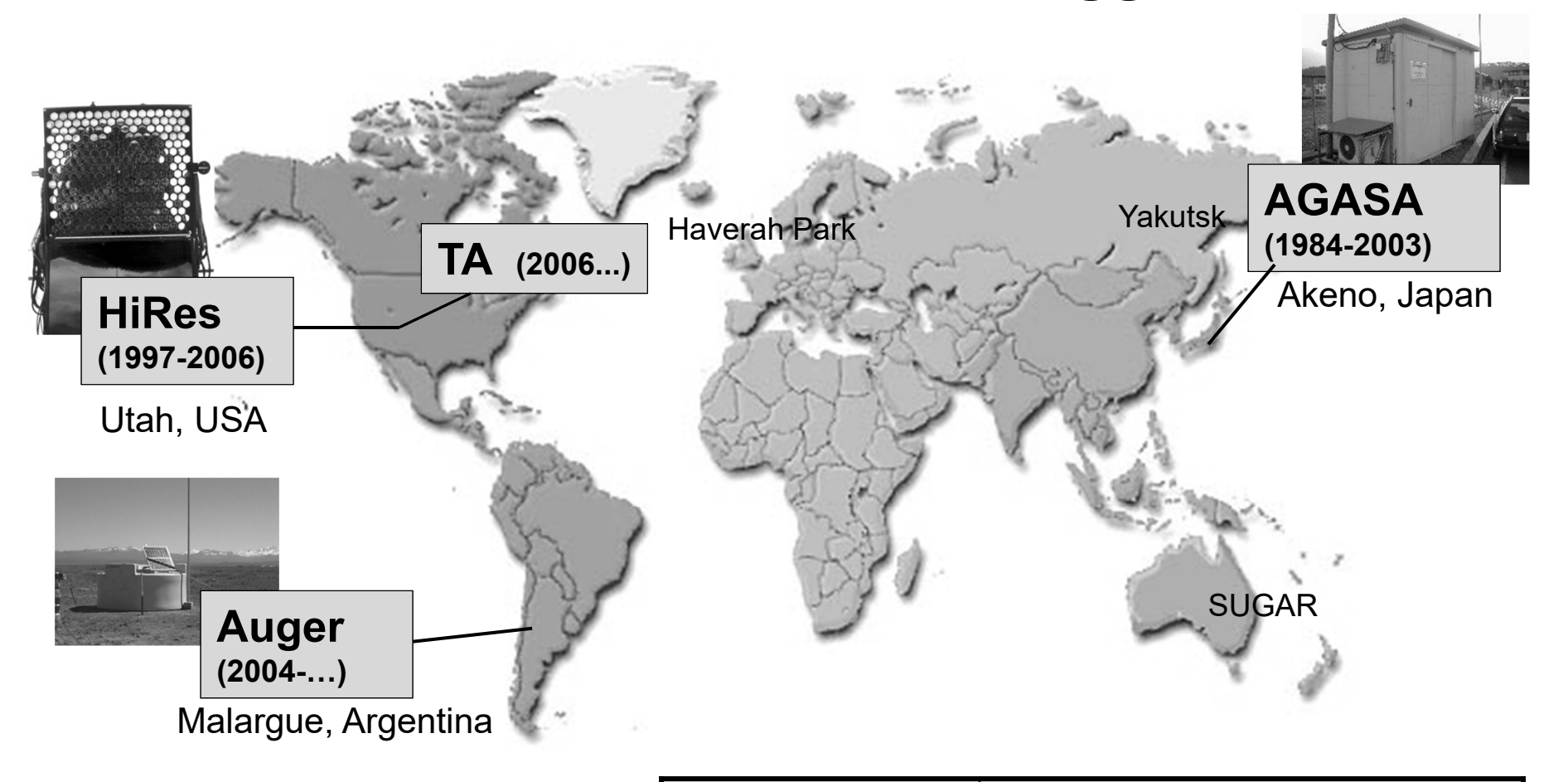
Come vengono rivelati gli sciami a terra?

- Abbiamo visto che per avere informazioni sul raggio cosmico primario che ha prodotto un certo sciame EAS e' utile studiare:
 - <u>Sviluppo longitudinale</u> dello sciame (l'evoluzione dello sciame in funzione dello spessore di atmosfera attraversato, per es X_{max});
 - <u>Sviluppo trasversale</u> dello sciame (la larghezza dello sciame a livello del suolo, il numero e il tipo di particelle che lo compongono);
 - *Direzione dell'asse* dello sciame;
 - •Questo studio e'condotto attraverso due tecniche principali:

METODO 1: Campionamento delle particelle a livello del suolo, tramite una griglia di rivelatori (Ground Array) disposti su una superficie opportuna → Studio del profilo trasversale dello sciame

METODO 2: Rivelazione della luce di fluorescenza emessa dalle particelle dello sciame dall'azoto nell'atmosfera →
Studio del profilo longitudinale dello sciame

Stato attuale dei rivelatori di raggi cosmici



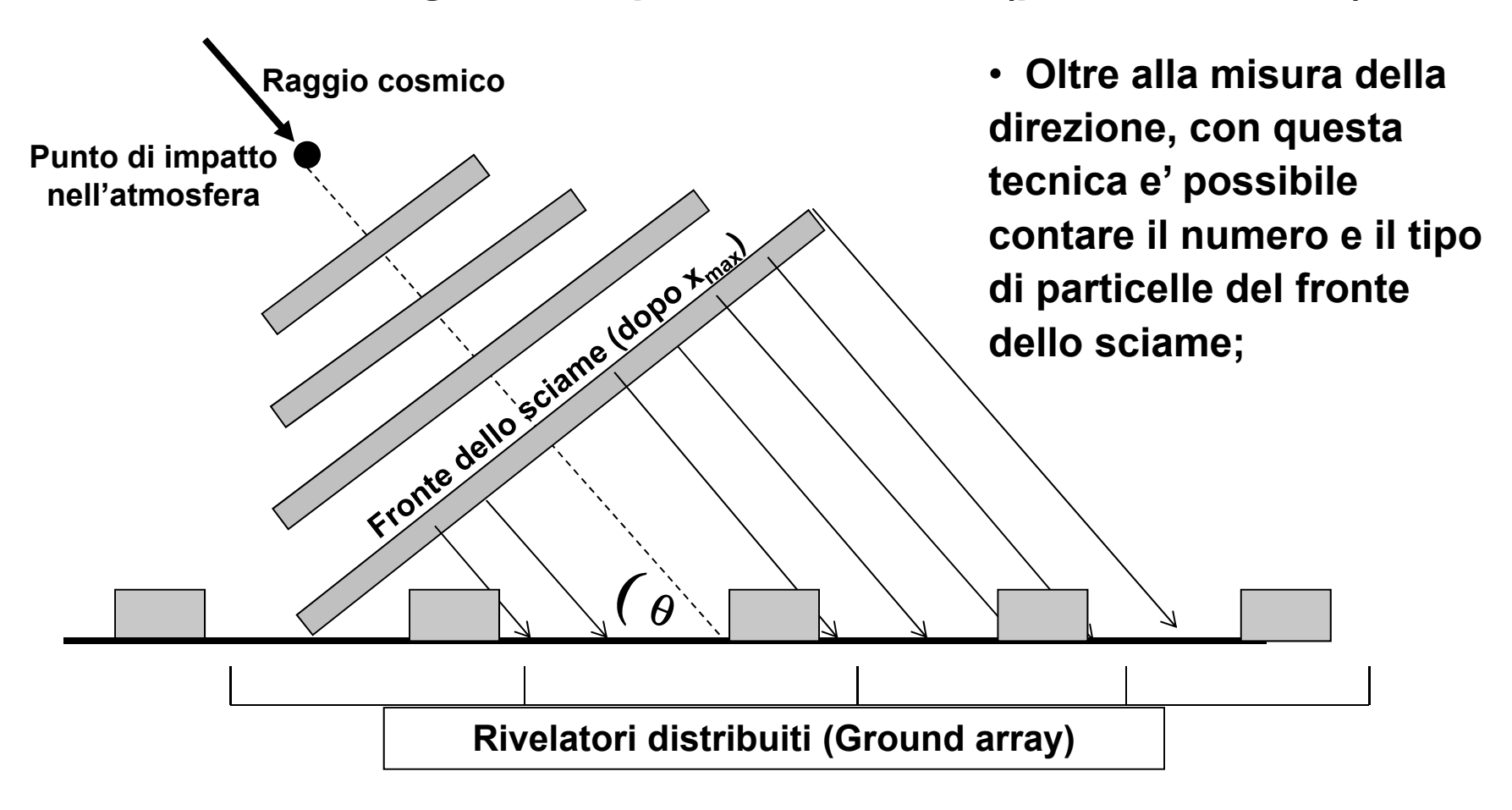
AGASA	Campionamento al suolo
HiRes	Fluorescenza
Pierre Auger Observatory	Ibrido: fluorescenza e campionamento al suolo

TECNICA 1: Campionamento dello sciame a livello del suolo

- Da quanto detto fino ad ora sulla produzione di sciami a partire da raggi cosmici primari, possiamo considerare l'atmosfera come un enorme calorimetro di spessore pari a 13 L₀ per i protoni e 27 L₀ per i fotoni;
- Analogamente ai calorimetri "artificiali" e' possibile ricavare informazione sulle sciame andando a "campionarlo" lungo la sua evoluzione longitudinale;
- In questo caso si tratta di un solo campionamento a livello del suolo;
- In pratica, la tecnica consiste nel sistemare su una vasta superficie della terra una griglia di rivelatori in grado di determinare il numero e/o la natura delle particelle che compongono lo sciame a livello del suolo;
- Il primo a usare questa tecnica fu il fisico francese Pierre Auger che nel 1938 utilizzo' per questo scopo dei contatori Geyger-Muller riuscendo a rivelare le particelle prodotte in un EAS di 10¹⁵ eV;
- Attualmente si preferisce usare rivelatori Cherenkov o scintillatori plastici poiche' danno informazioni temporali piu' accurate;

TECNICA 1: campionamento dello sciame a livello del suolo (2)

- Analizzando la distribuzione di densita' nell'array di rivelatori e' possibile determinare il punto di impatto dello sciame;
- Dai tempi di arrivo delle particelle ai vari rivelatori e' possibile individuare l'angolo di impatto θ sul suolo (precisione 1º-5º);

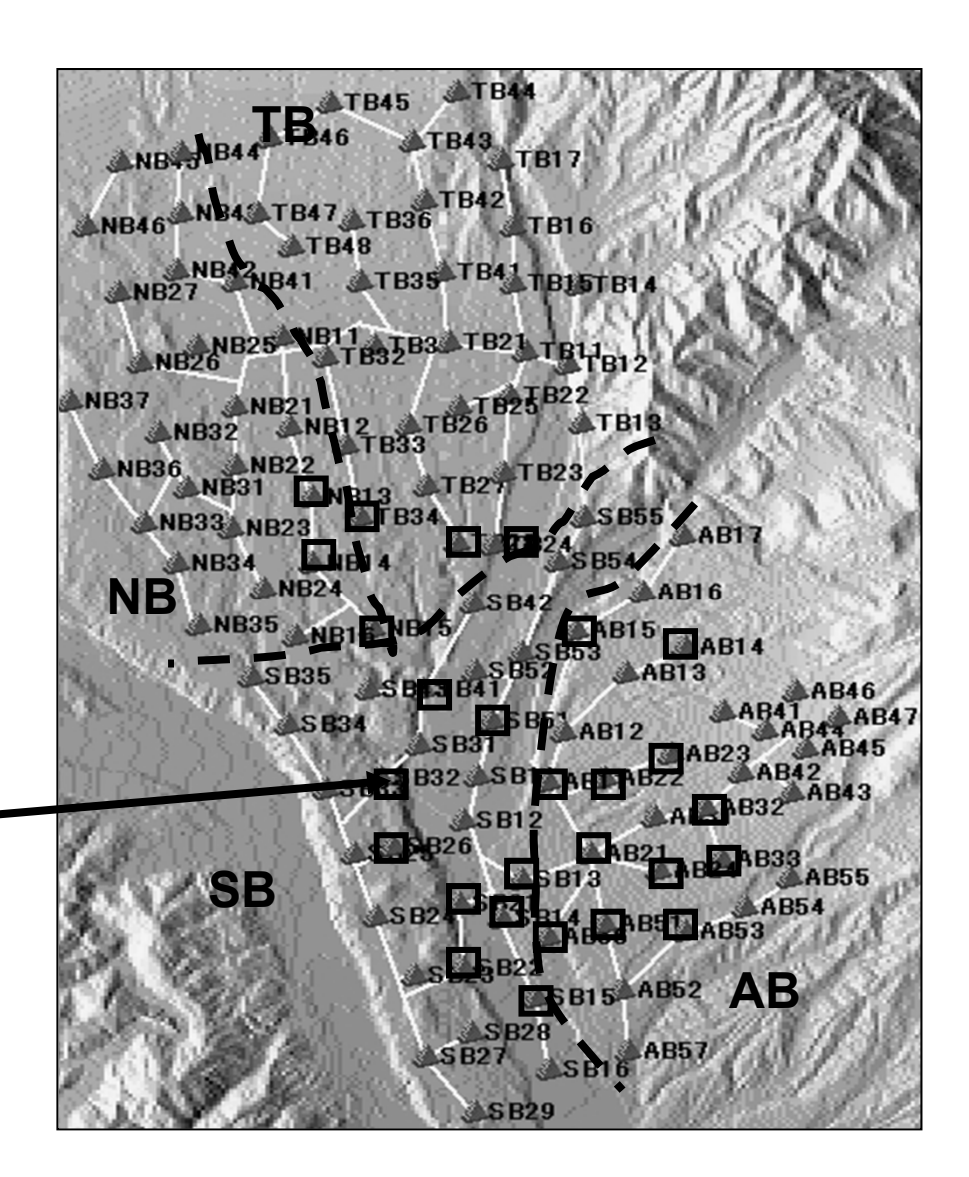


TECNICA 1: campionamento dello sciame a livello del suolo (3)

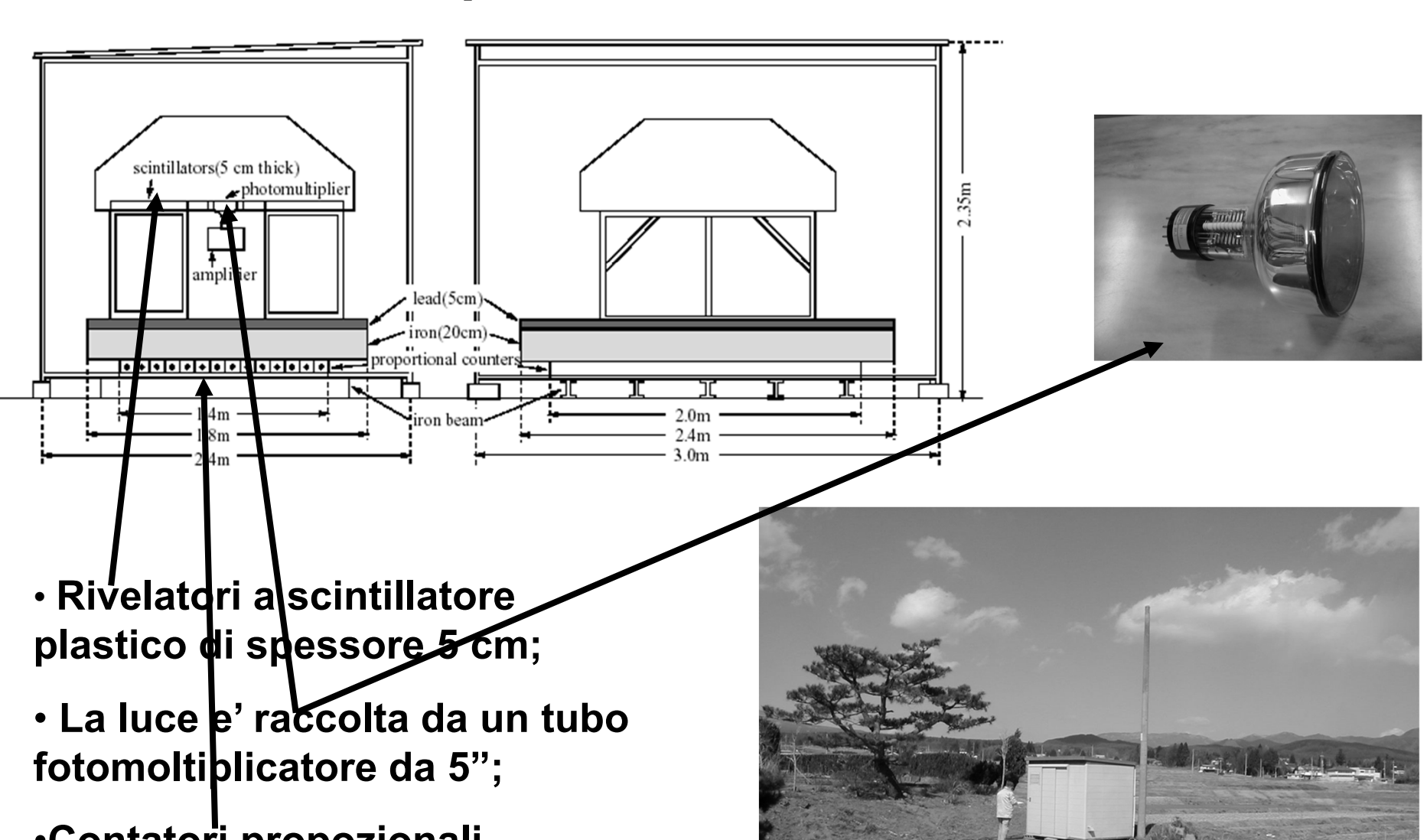
- Uno sciame prodotto da un raggio cosmico primario di energia ultraelevata (UHECR, E> 10¹⁵ eV) arriva ad estendersi lateralmente a livello del suolo fino a diversi Km²;
- Di conseguenza, anche la griglia di rivelatori incaricati di campionarlo dovra' avere estensioni di questo tipo;
- La disposizione dei rivelatori nell'array (in particolare la distanza *d* fra un rivelatore e l'altro) dipende dalle energie tipiche degli sciami che l'esperimento vuol rivelare;
- Per gli UHECR, d ~ 100 m;
- Dal momento che il punto piu' interessante a cui campionare uno sciame e' $x \sim X_{max}$, e' opportuno posizionare il piano dei rivelatori il piu' possibile vicino a questo punto (o poco dopo);
- Per gli UHECR questo punto corrisponde a un'altitudine compresa fra 500 e 1500 m sul livello del mare;
- E' inoltre importante selezionare un sito il piu' possibile pianeggiante;
- Il piu' grande esperimento costruito basandosi sul principio di campionamento dello sciame a livello del suolo e' AGASA;

AGASA: Akeno Giant Air-Shower Array

- E' stato realizzato in Giappone e ha preso dati dal 1990 al 2004;
- Consiste in 111 scintillatori di dimensione 2.2 m² disposti a una distanza di 1 Km l'uno dall'altro;
- L'area complessiva dell'array e' di 100 Km²;
- I rivelatori a scintillazione servono per rivelare gli elettroni dello sciame;
- Esistono poi 27 rivelatori per muoni di dimensione variabile (da 2 a 10 m²) formati da scintillatore plastico + 14-20 contatori proporzionali schermati da 30cm di Fe o 1m di cemento;
- Disposti su una superficie di 30Km²;

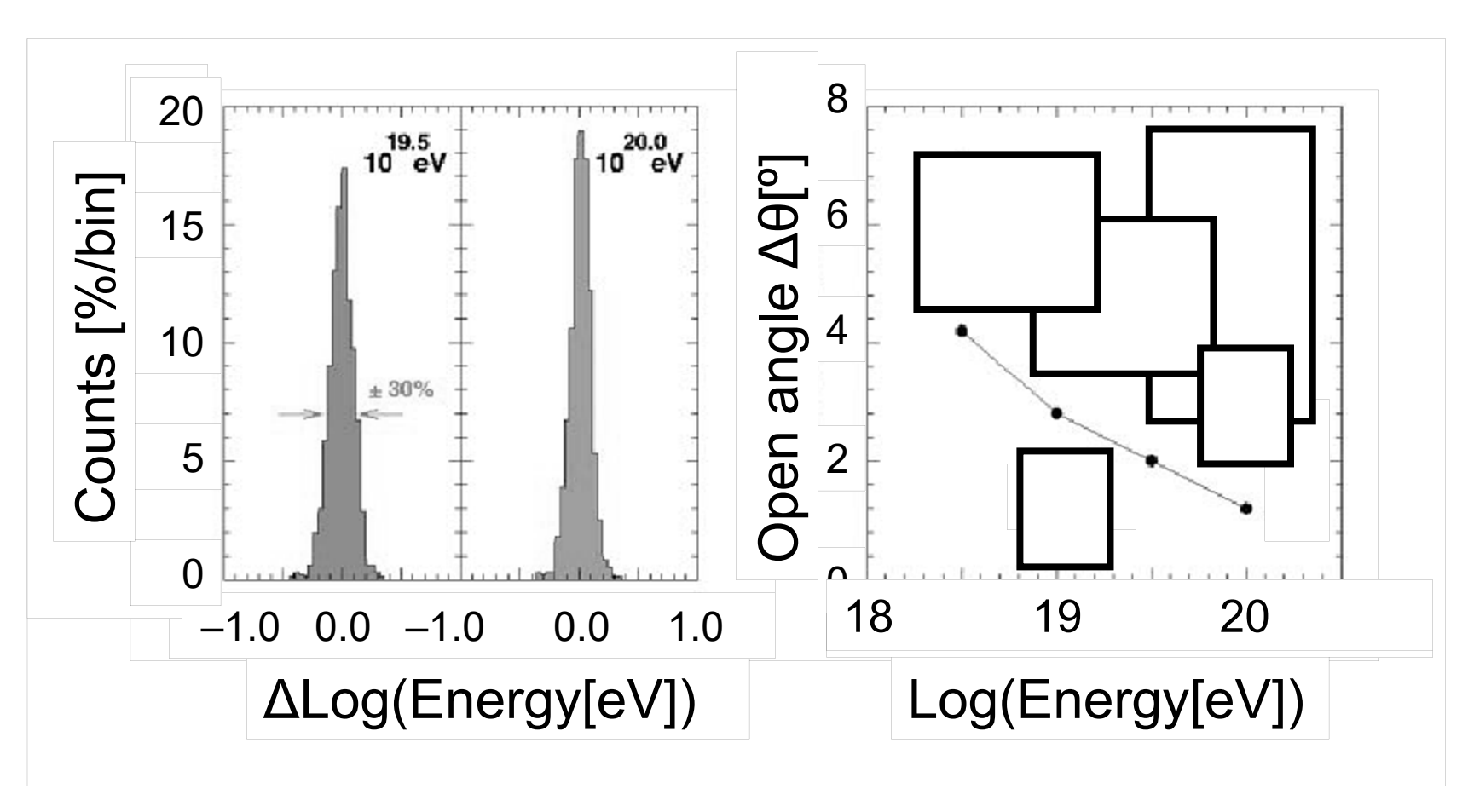


Modulo per rivelare muoni in AGASA



Contatori propozionali "triggerati" dallo scintillatore;

Qualita' della ricostruzione di energia e direzione dello sciame

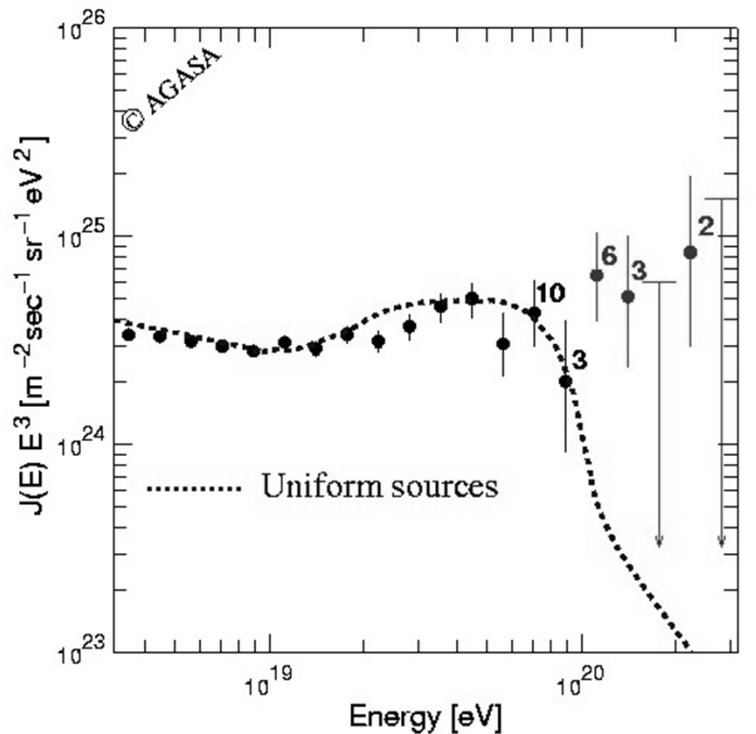


Risoluzione in Energia

- $-\Delta E_0/E_0=\pm 30\%$ @10^{19.5}eV
- $-\Delta E_0/E_0 = \pm 25\%$ @10²⁰eV

Risoluzione angolare

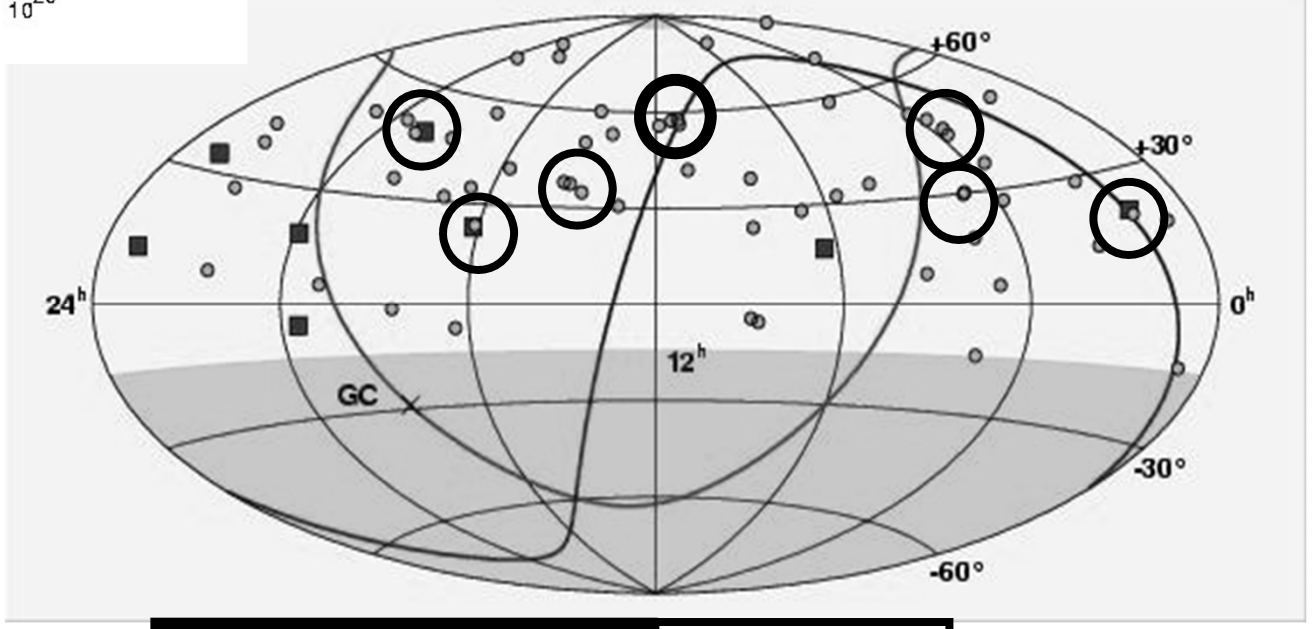
- $\Delta\theta$ =2.0° @10^{19.5}eV
- $-\Delta\theta = 1.3^{\circ} @10^{20} eV$



Risultati di AGASA

- •Trovano 11 eventi con E>10²⁰ eV;
- •C'e' una strana anisotropia negli eventi con E>4x10¹⁹ eV;
- •Formano (entro 2.5°)
 - 1 tripletto;
 - 6 doppietti;

Nessuno degli eventi di EHECR punta verso una sorgente plausibile

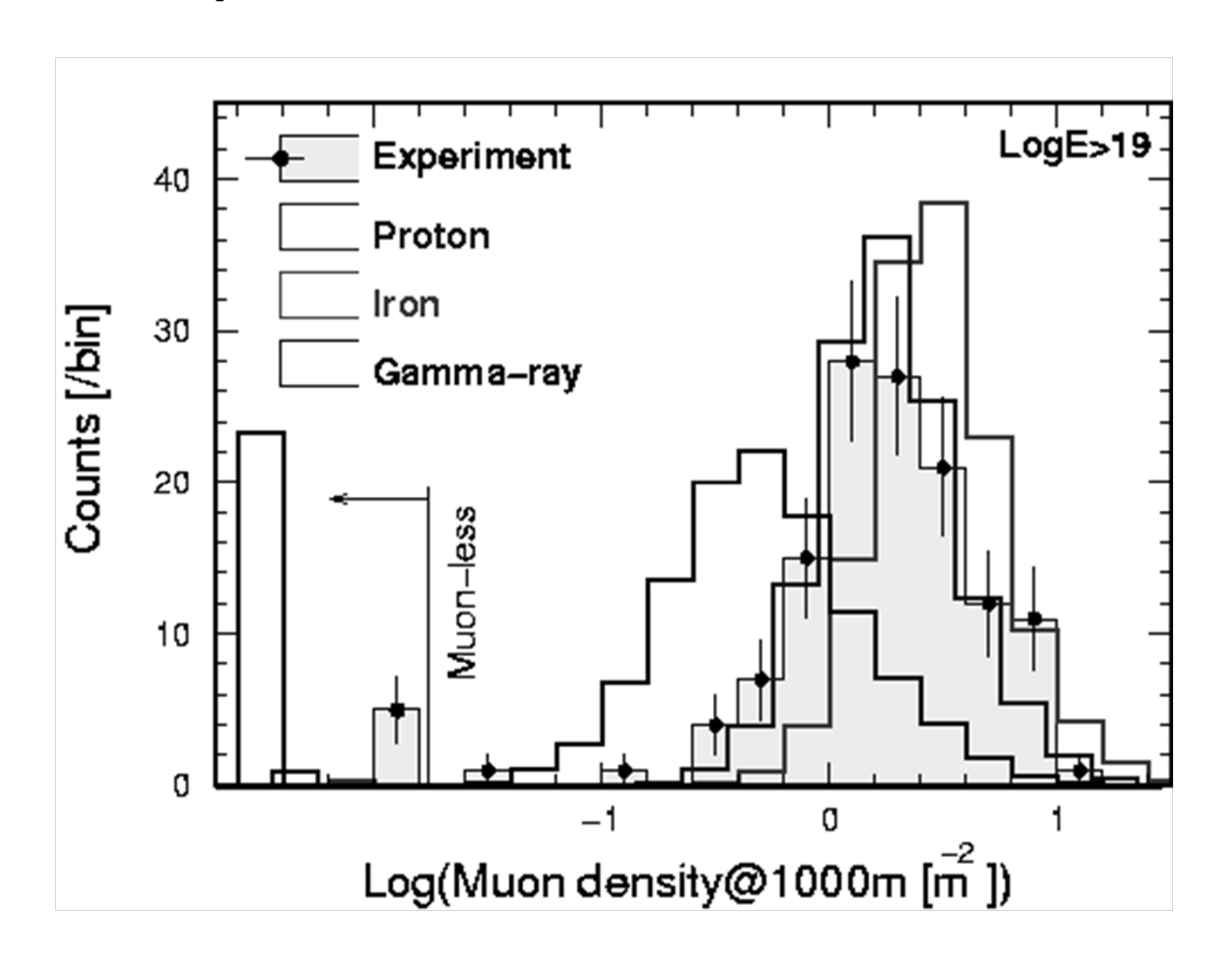


©4x10¹⁹ − 10²⁰eV

■>10²⁰eV

Analisi della composizione degli UHECR

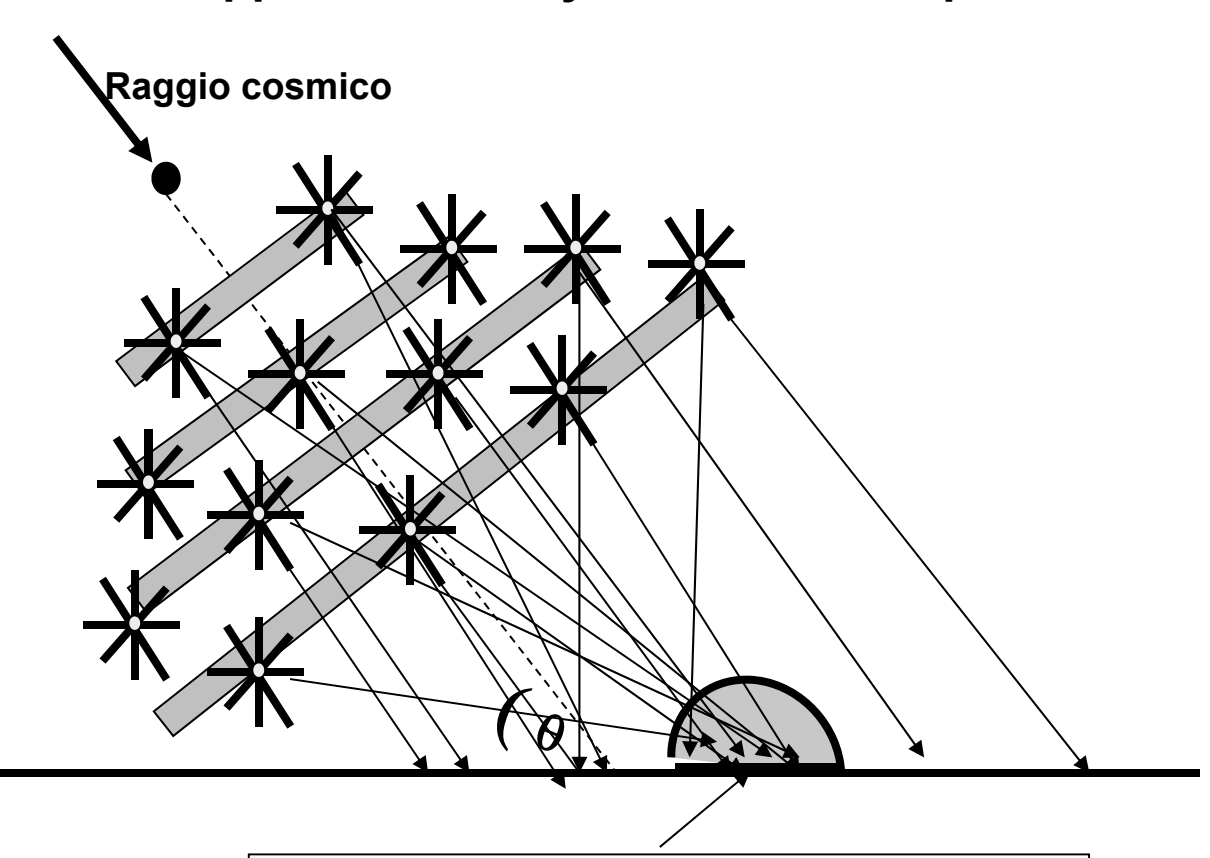
 Misurando la densita' di muoni negli sciami UHECR (E> 10¹⁹ eV)
 AGASA riesce a stimare la natura dei raggi cosmico primari che li hanno prodotti;



•Da questo studio risulta che i raggi cosmici primari di energie ultraelevate sembrano essere in prevalenza protoni

TECNICA 2: rivelazione della luce di fluorescenza

- Questa tecnica nasce nel 1962 e utilizza l'atmosfera come se fosse un grande rivelatore a scintillazione;
- Il materiale scintillante e' l'azoto dell'atmosfera che produce fotoni fra 300 e 400 nm;
- Un opportuno "array" di fototubi disposto a terra rivela questi fotoni;



- Questo metodo fornisce informazioni sullo sviluppo longitudinale dello sciame,;
- In pratica, dal numero di fotoni rivelati in funzione del tempo e' possibile ricostruire il numero di particelle a diverse profondita' dello sciame;
- E' possibile quindi determinare X_{max};

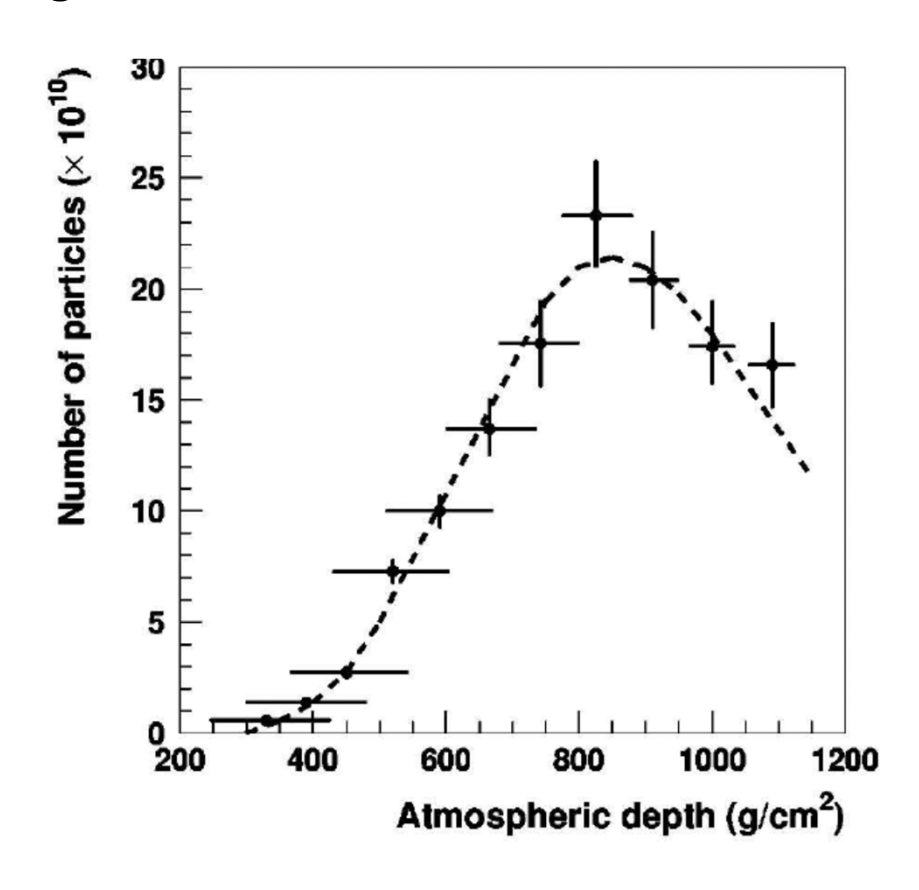
Rivelatore di fluorescenza (Fly's eye)

TECNICA 2: rivelazione della luce di fluorescenza

- La luce emessa per scintillazione dall'azoto ha una λ ~300-400 nm;
- A queste λ, l'atmosfera e' quasi trasparente (L_{att} ~ 15 Km);
- Il numero di fotoni emessi per fluorescenza dalle particelle dello sciame e' ~ 4.5 fotoni/m;
- Poiche' un EAS primario di E> 10^{19} eV produce a X_{max} piu' di 10^{8} elettroni la luce e' sufficiente;
- I fotoni vengono raccolti da specchi e rivelati da PMT;
- Ogni PMT guarda una porzione di cielo;
- Per ogni porzione di cielo (PMT) conosco: numero di fotoni e tempo di arrivo;
- Ricavo il piano rivelatore-sciame e quindi la direzione dello sciame;

TECNICA 2: rivelazione della luce di fluorescenza

- Come detto con questa tecnica e' possibile ricostruire il profilo longitudinale dello sciame EAS;
- L'E dello sciame puo' venire calcolata integrando il numero di fotoni raccolti;
- Si puo' inoltre determinare X_{max} da cui e' possibile dedurre informazioni sulla natura del primario che ha generato lo sciame;
- •E' inoltre possibile determinare la direzione dell'asse dello sciame ;
- •Se si usa una visione binoculare (cioe' 2 rivelatori Fly's Eyes) $\Delta\theta \sim 0.5$ ⁰!!
- Notiamo che questa tecnica di rivelazione ha un altissimo tempo morto (>90%) in quanto non puo' essere operato di giorno e nelle notti di luna!



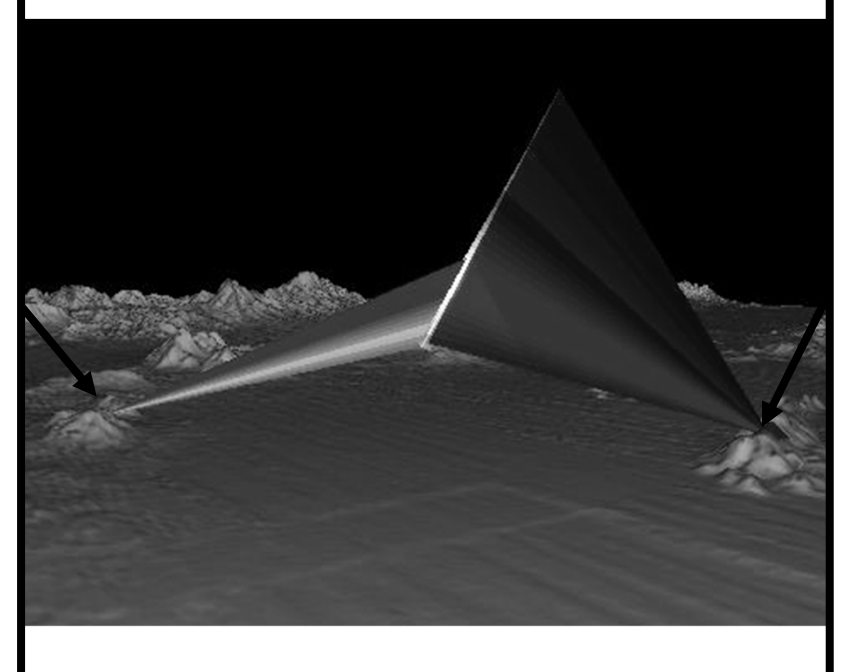
• Richiede inoltre che il luogo di istallazione sia mediamente poco nuvoloso lungo l'intero anno!

Hi-Res (Hi Resolution Fly's Eyes)

- E' situato nello Utah (USA) e ha cominciato a prendere dati nel 1998;
- E' composto da due rivelatori Fly's Eyes situati a distanza di 12.6 km per avere visione stereoscopica e migliorare la risoluzione sulla direzione dello sciame;

HiRes 1

- •Composto da 22 specchi che raccolgono la luce proveniente da altrettante porzioni di cielo;
- •Copre un campo visivo del cielo che si estende da 3º a 17º in elevazione, e 360º in azimuth;

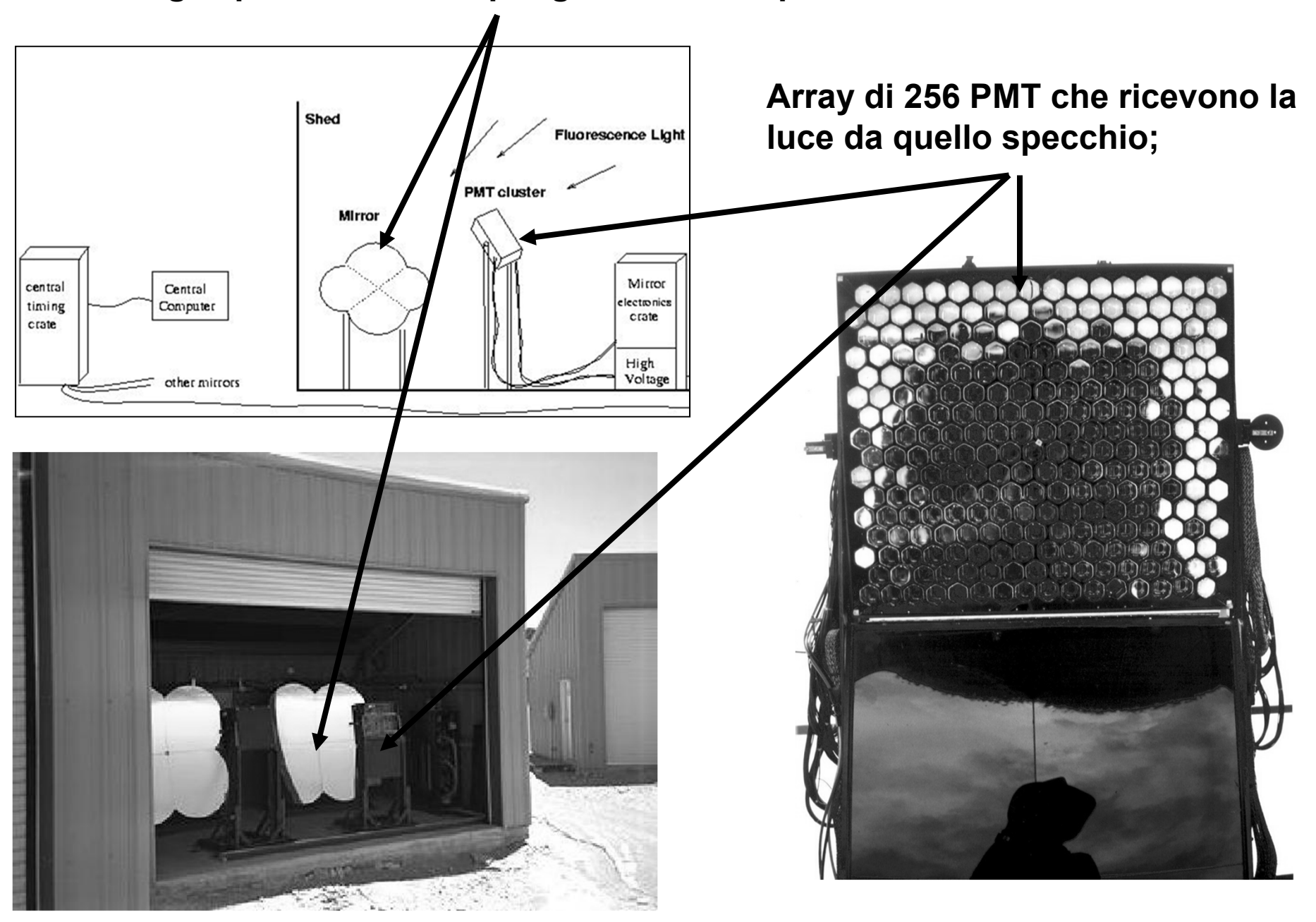


HiRes 2

- •Composto da 42 specchi che raccolgono la luce proveniente da altrettante porzioni di cielo;
- •Copre un campo visivo del cielo che si estende da 3º a 31º in elevazione, e 360º in azimuth;

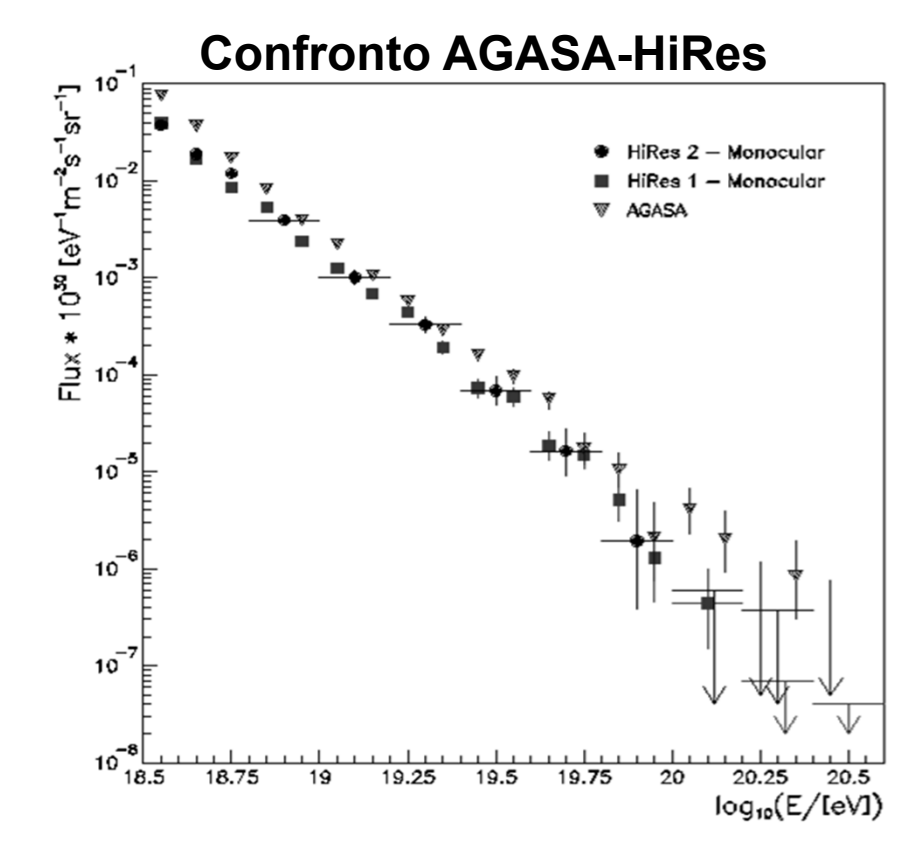
In entrambi i casi, la luce raccolta da ciasuno specchio viene rivelata da un array di 256 tubi fotomoltiplicatori

Uno degli specchi che compongono i telescopi di HiRes



Spettro dei raggi cosmici ottenuto con HiRes

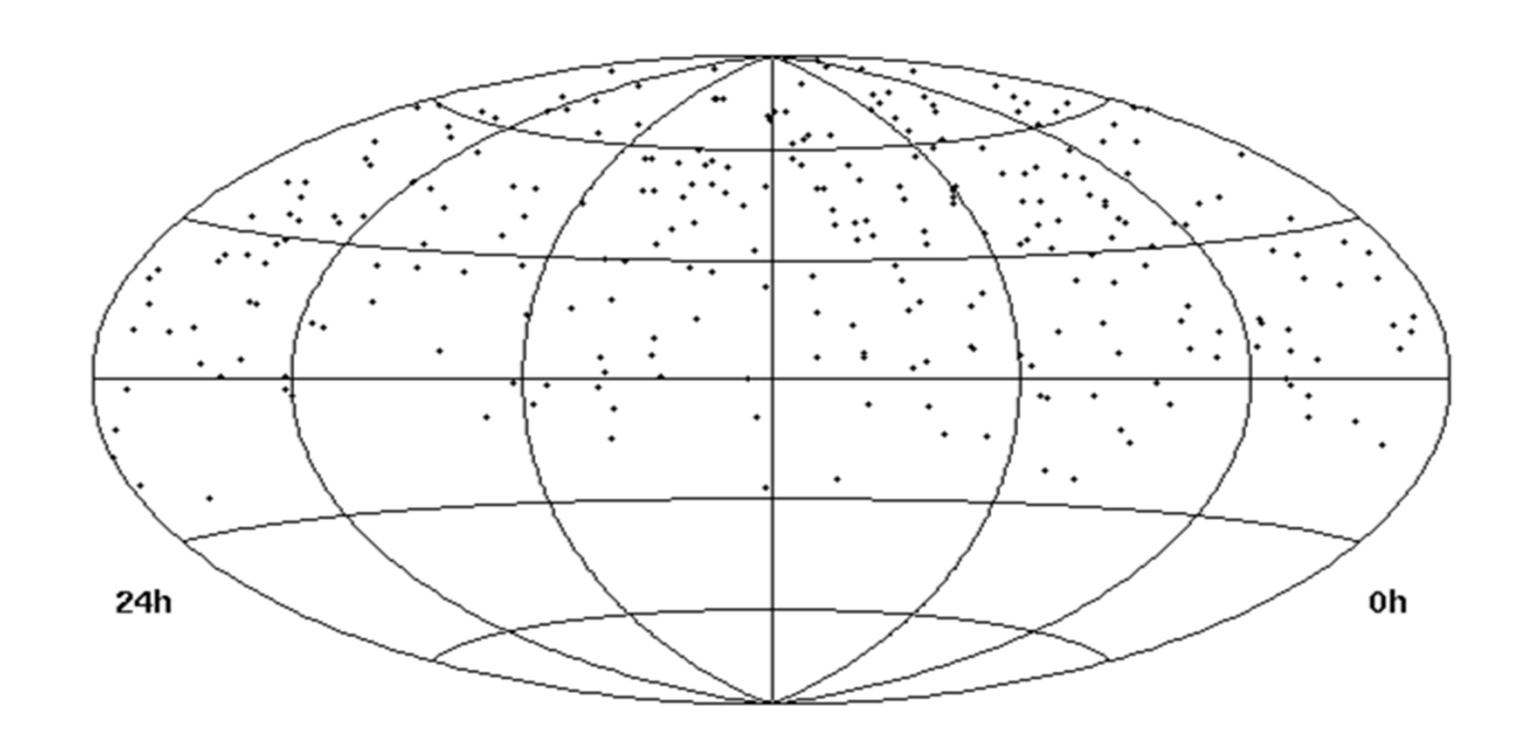
- L'E dello sciame viene ottenuto a partire dalla somma dei fotoni raccolti;
- La risoluzione in energia e' ~ 15%;
- N.B.: in un rivelatore a fluorescenza il controllo della trasparenza dell'atmosfera e' particolarmente critico per la stima dell'energia dello sciame;
- La trasparenza dell'atmosfera puo' variare velocemente e imprevedibilmente in base alle condizioni atmosferiche → vengono controllate ora per ora e introdotte per ricorreggere i dati;



- Il confronto fra AGASA e Hires mostra innanzitutto una leggera discrepanza nella scale in energia (possibile shift sistematico);
- HiRes trova 5 eventi di energia E>10²⁰ eV (contro 2 attesi);
- AGASA ne trovava 11;

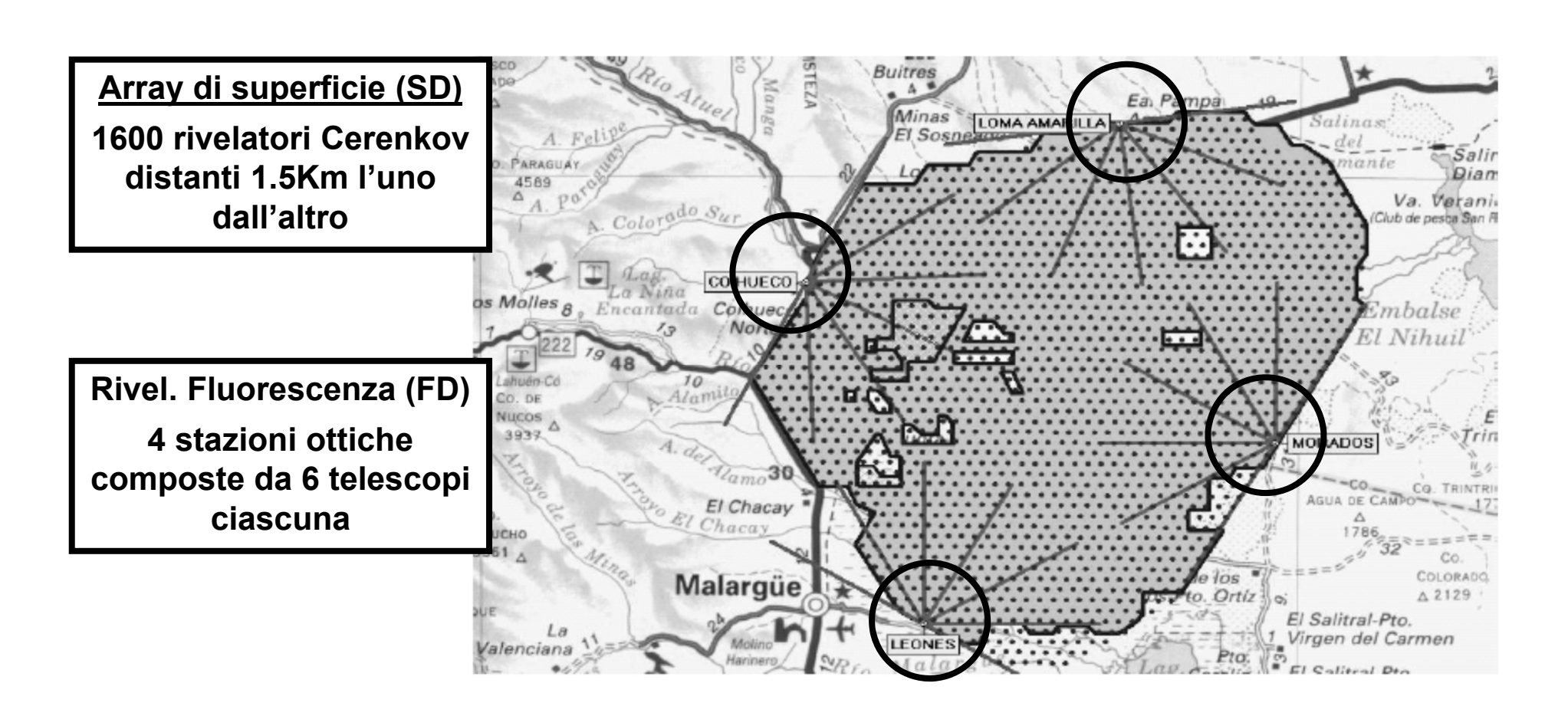
Determinazione della provenienza dei raggi cosmici con HiRes

- Grazie alla visione binoculare, HiRes e' in grado di ottenere una risoluzione angolare sulla direzione dello sciame di ~ 0.6º, meglio di quella di AGASA;
- Non evidenzia anisotropie nella distribuzione dei raggi cosmici di energia E>10¹⁹ eV;



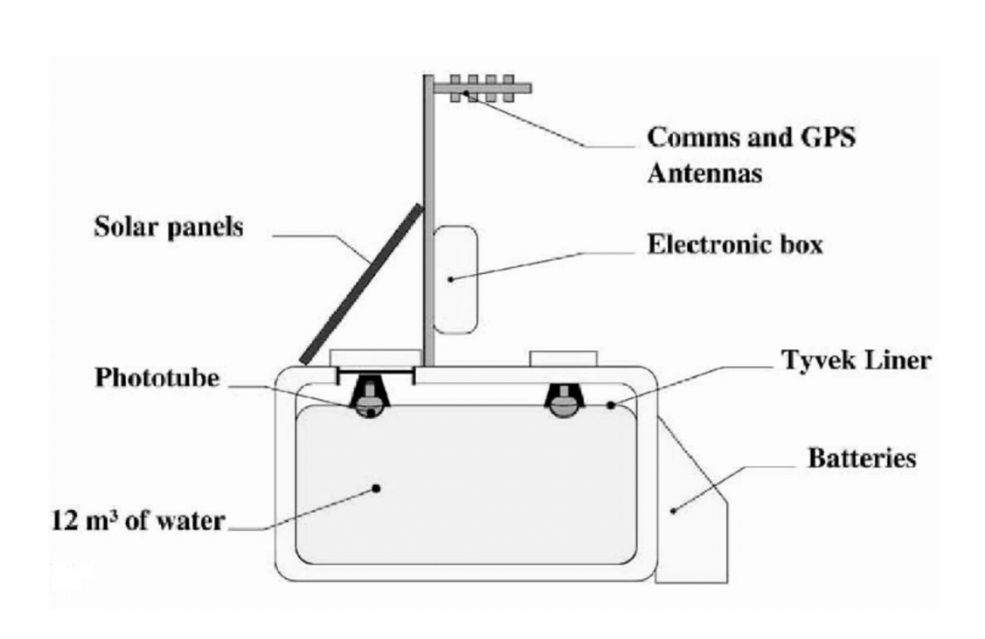
Un esperimento ibrido: AUGER

- •E' un rivelatore ibrido, che sfrutta cioe' sia la tecnica di campionamento al suolo che la tecnica di fluorescenza;
- •E' realizzato in Argentina;
- •Occupa una superficie di 3000 Km² (1 anno di Auger ~ 30 anni di AGASA!);



Rivelatori per campionare lo sciame in superficie (SD)

- 1600 stazioni distanti 1.5Km l'una dall'altra;
- Ogni stazione e' composta da una tanica di 12 m³ di acqua ultrapura;
- La luce Cerenkov emessa dalle particelle dello sciame viene vista da 3 PMT da 9";
- L'istallazione e' stata completata in agosto 2007;
- Da allora prende dati con continuita';

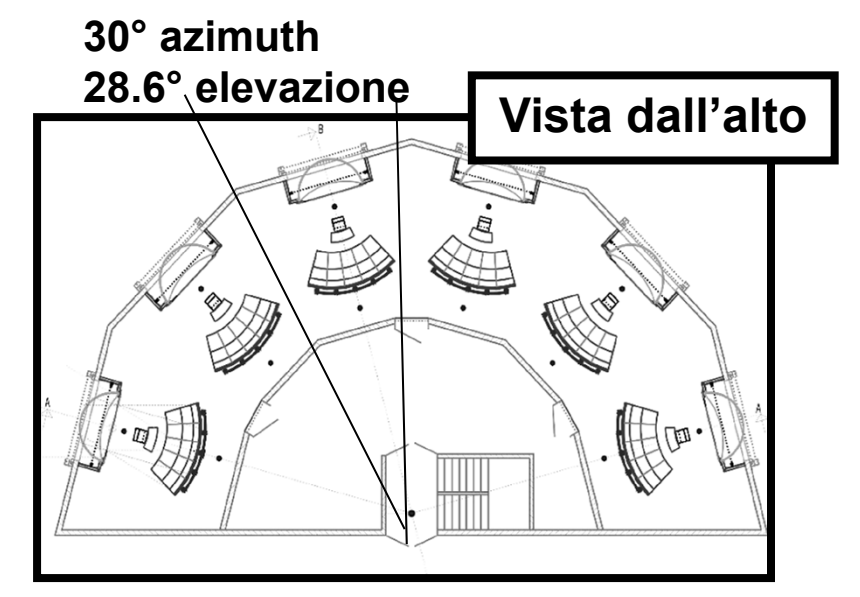


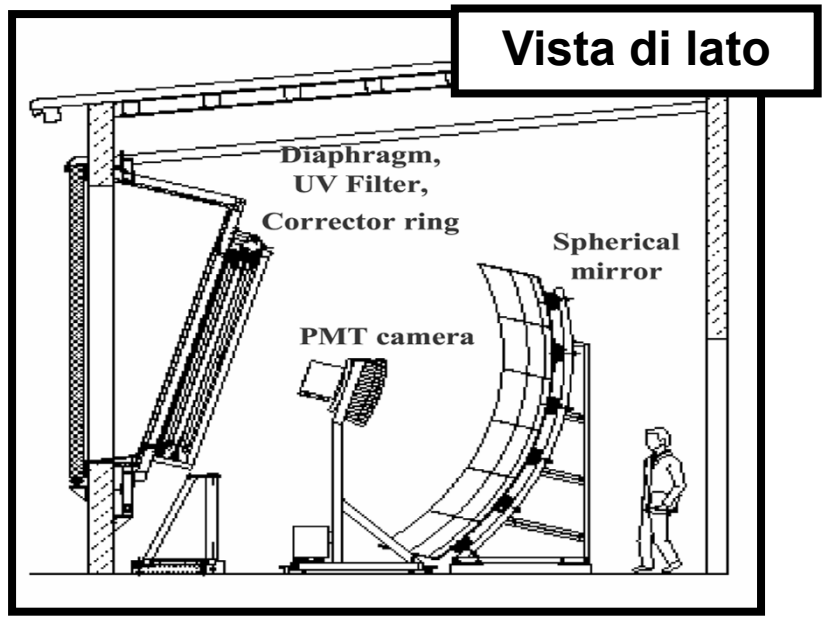


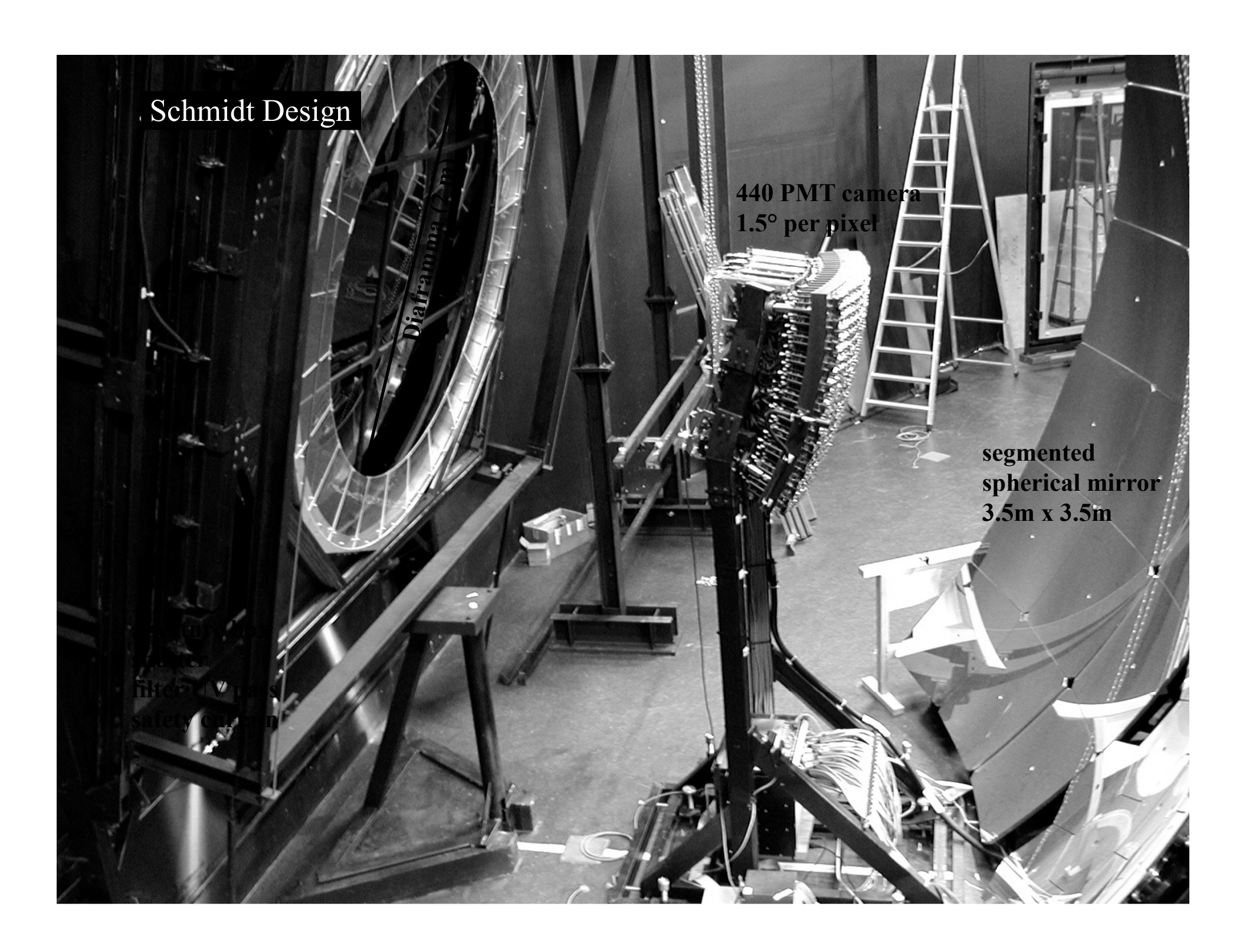


Rivelatori di fluorescenza (FD)

- Auger e' composto da 4 stazioni di fluorescenza;
- •Ciascuna stazione e' formata da 6 telescopi;
- •Ciascun telescopio ha un campo visivo di 30º in azimuth e 28.6º in elevazione;
- •Ciascun telescopio e' formato da uno specchio di 3.5m x 3.5m che focalizza la luce su un array di 440 PMT;
- •Un filtro UV permette solo il passaggio di luce nel range di lunghezze d'onda (300-400)nm;
- •Tutte le 4 stazioni sono istallate e prendono dati regolarmente;









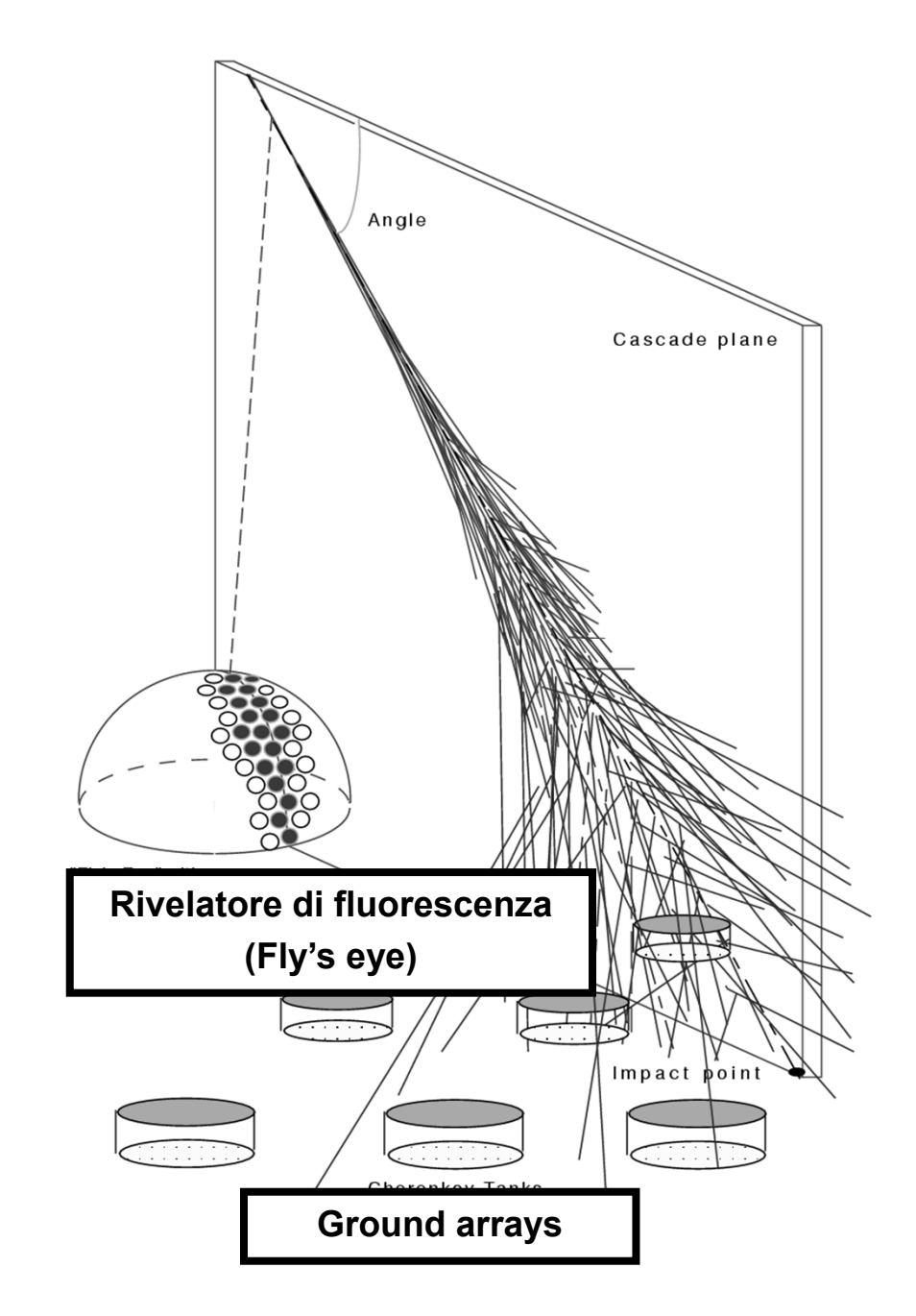
2015

	ARRIVA DE TRANSPORTE ARRIVA DE LA CASA DELA CASA DEL CASA DE LA CASA DEL CASA DE LA CASA DEL CASA D	ADDITION OF THE PARTY OF THE PARTY OF THE PARTY.	A STATE OF THE PARTY OF THE PAR
ENERO 2015	FEBRERO 2015	MARZO 2015	ABRIL 2015
LUN MAR MIÉ JUE VIE	LUN MAR MIÉ JUE VIE SÁB DOM	LUN MAR MIÉ JUE VIE SÁB DOM	LUN MAR MIÉ JUE VIE SÁB DOM
1 2 5 6 7 8 9	2 3 4 5 6 7 8	2 3 4 5 6 7 8	1 2 3 4 5 6 7 8 9 10 11 12
12 13 14 15 16 17 18	9 10 11 12 13 14 15	9 10 11 12 13 14 15	13 14 15 16 17 18 19
19 20 21 22 23 24 25	16 17 18 19 20 21 22	16 17 18 19 20 21 22	20 21 22 23 24 25 26
26 27 28 29 30	23 24 25 26 27 28	23 24 25 26 27 28 29	27 28 29 30
		30 31	
MAYO 2015	JUNIO 2015	JULIO 2015	AGOSTO 2015
LUN MAR MIÉ JUE VIE SÁB DOM	LUN MAR MIÉ JUE VIE SÁB DOM	LUN MAR MIÉ JUE VIE SÁB DOM	LUN MAR MIÉ JUE VIE
1 2 3	1 2 3 4 5 6 7	1 2 3 4 5	
4 5 6 7 8 9 10	8 9 10 11 12 13 14	6 7 8 9 10 11 12	3 4 5 6 7 8 9
11 12 13 14 15 16 17	15 16 17 18 19 20 21	13 14 15 16 17 18 19	10 11 12 13 14 15 16
18 19 20 21 22 23 24	22 23 24 25 26 27 28	20 21 22 23 24 25 26	17 18 19 20 21 22 23
25 26 27 28 29 30 31	29 30	27 28 29 30 31	24 25 26 27 28 31
			31
CERTIEMBRE 2015	OCTUBBE 2015	NOVIEMBRE 2015	DICIEMBDE 201E
SEPTIEMBRE 2015	OCTUBRE 2015	NOVIEMBRE 2015	DICIEMBRE 2015
LUN MAR MIÉ JUE VIE SÁB DOM 1 2 3 4 5 6	LUN MAR MIÉ JUE VIE SÁB DOM 1 2 3 4	LUN MAR MIÉ JUE VIE SÁB DOM 1	LUN MAR MIÉ JUE VIE SÁB DOM 1 2 3 4 5 6
7 8 9 10 11 12 13	5 6 7 8 9 10 11	2 3 4 5 6 7 8	7 8 9 10 11 12 13
14 15 16 17 18 19 20	12 13 14 15 16 17 18	9 10 11 12 13 14 15	14 15 16 17 18 19 20
21 22 23 24 25 26 27	19 20 21 22 23 24 25	16 17 18 19 20 21 22	21 22 23 24 25 26 27
28 29 30	26 27 28 29 30 31	23 24 25 26 27 28 29	28 29 30 31
		30	
	•	1 1/	

Le solicitamos, por favor, que en los días marcados con AMARILLO no se realicen quemas de campo. Gracias.

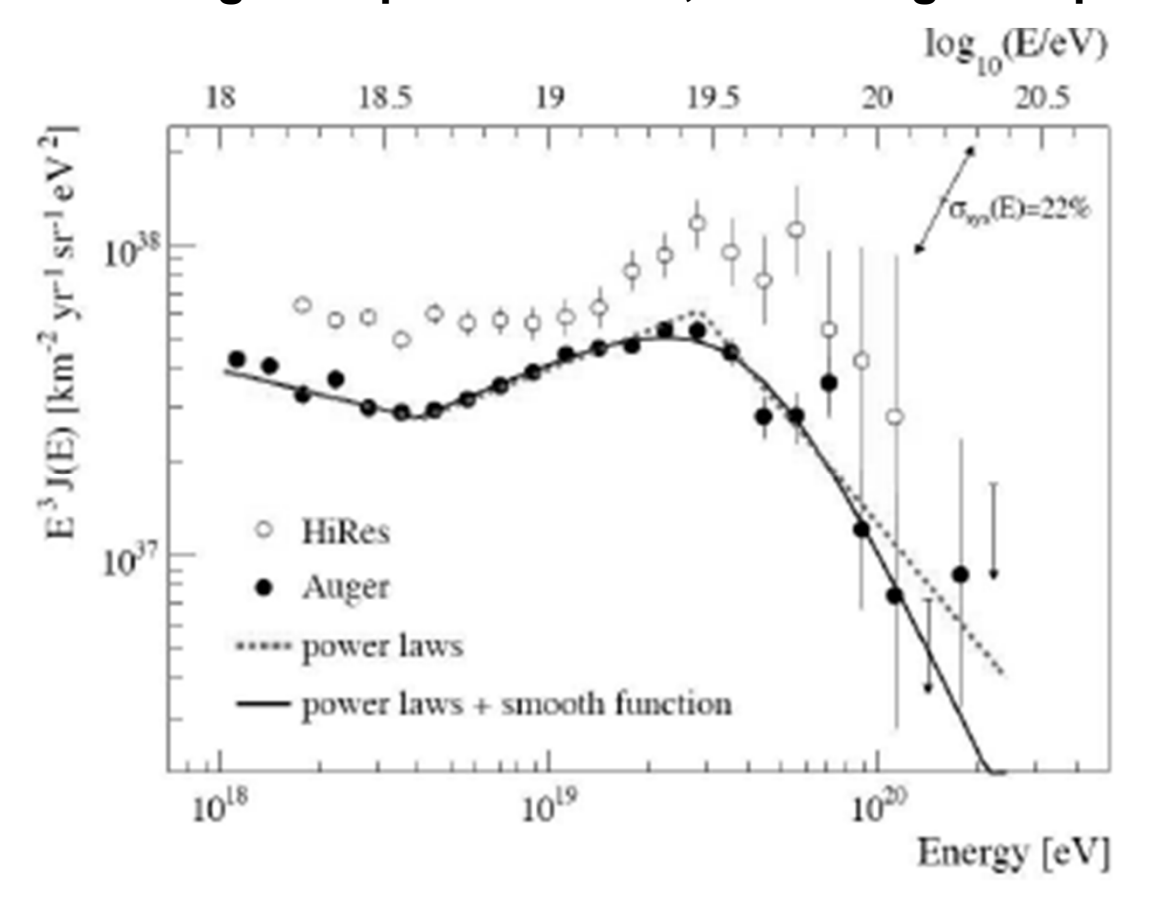
I vantaggi di un rivelatore ibrido

- Un rivelatore ibrido permette di combinare i pregi di diverse tecniche di rivelazione e fornisce elementi utili per individuare eventuali effetti sistematici nelle singole tecniche;
- •Per esempio, il problema legato a possibili sistematiche della misura dell' E degli sciami viene risolto dal fatto di avere 2 tecniche completamenti indipendenti per misurarla;
- •Lo stesso vale per la misura dell'asse di propagazione del fascio e per la stima della natura del "padre" dello sciame;
- •Inoltre, a differenza dei rivelatori che sfruttano solo fluorescenza, Auger puo' prendere dati 100% del tempo;



Risultati di Auger: il flusso degli UHECR

Auger vede ~ 60 ev/giorno per E>10¹⁸ eV, 1.5 ev/giorno per E>10¹⁹ eV;

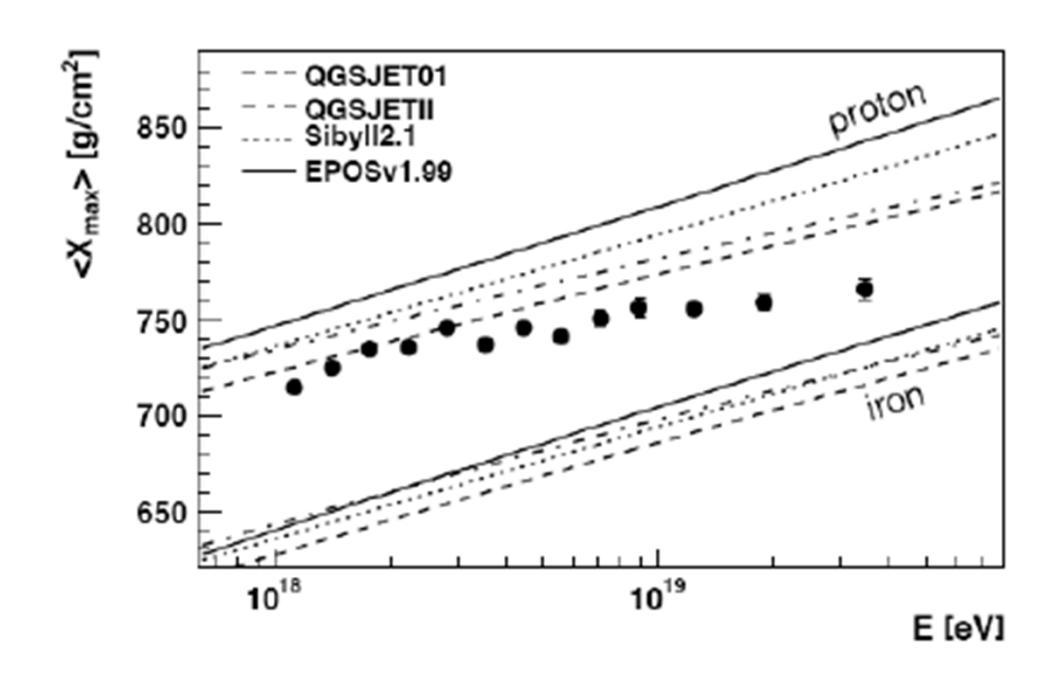


RISULTATO n.1

•Auger CONFERMA l'esistenza di un cutoff per E>5x10¹⁹ eV (in accordo con Hires); E' il cutoff GZK?

Risultati di Auger: la composizione degli UHECR

Studiando la distribuzione dell' X_{max} con il rivelatore di fluorescenza e' possibile capire la natura del primario: un protone tende ad avere un X_{max} piu' grande rispetto a un nucleo di Fe



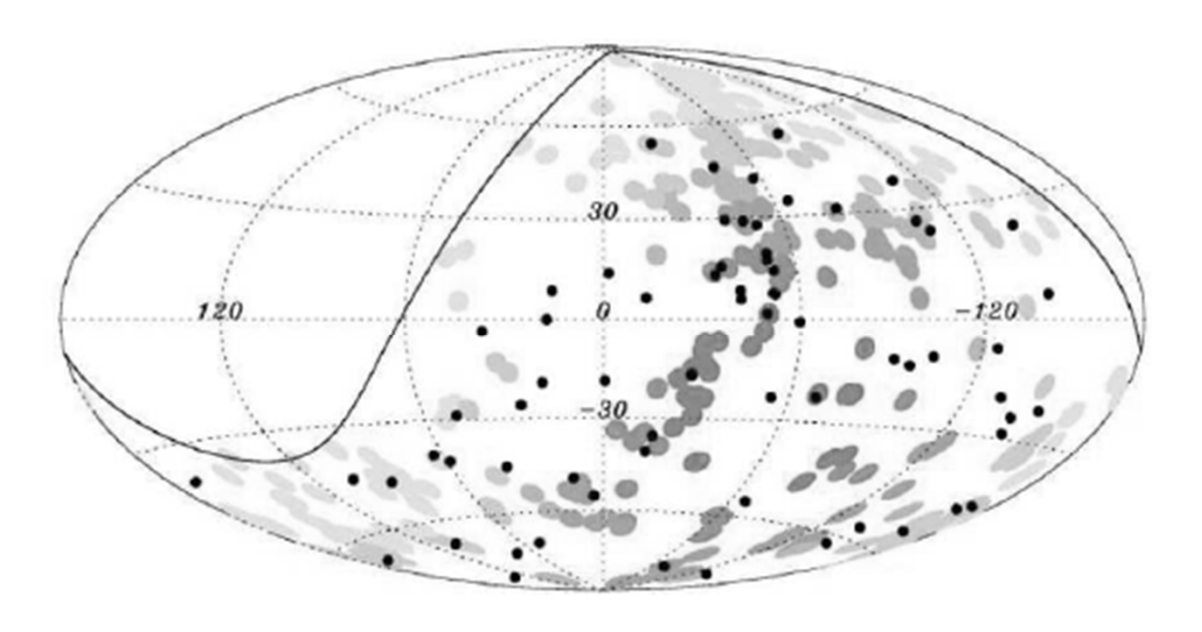
Risultato n.2

- •L'attuale risultato di Auger sembra preferire una composizione di protoni per E< 10¹⁹ eV e a piu' alte energie una transizione a elementi piu' pesanti;
- •Purtroppo non c'e' abbastanza statistica al di sopra di 5x 10¹⁹ eV per avere informazioni sulla composizione degli eventi ad altissime energie;

Risultati di Auger: la presenza di γ fra gli UHECR

Inoltre Auger pone un limite sul numero di gamma che fanno parte degli eventi di altissima energia <2% → questo porta a rigettare molti dei modelli "top-down";

Risultati di Auger : correlazione degli UHECR con oggetti astronomici (dati raccolti fra gennaio 2004 e dicembre 2009)



Risultato n.3

- Puntini neri: 69 eventi di UHECR (E>5.5x10¹⁹ eV)
- Pallini blu: cerchi di 3.1º atttorno ai 318 AGN presenti nel catalogo VCV a distanza < 75 Mpc (z<0.018). Il colore indica l'esposizione relativa di Auger in quella zona;
- •Si osserva una correlazione fra AGN e UHECR visti da Auger, ma il grado di correlazione e' diminuito rispetto a quello che si osservava con i primi 30 eventi

Questioni ancora aperte

GZK

 La soppressione del flusso a E.5x10¹⁹ eV e' davvero l'effetto GZK oppure e' solo l'energia massima a cui arrivano gli acceleratori cosmici?

COMPOSIZIONE

Qual'e' la composizione dei raggi cosmici per E>10¹⁹ eV?
 Ovvero, sono protoni, sono nuclei piu' pesanti? Auger sembra dire che sono nuclei piu' pesanti, ma altri esperimenti hanno risultati piu' ambigui (TA per esempio);

SORGENTI DI RAGGI COSMICI

- E' possibile capire meglio quali sono le sorgenti di raggi cosmici E>10¹⁹ eV?
- Astronomia possibile solo per protoni?

